

FIG. 1

00698497 10200

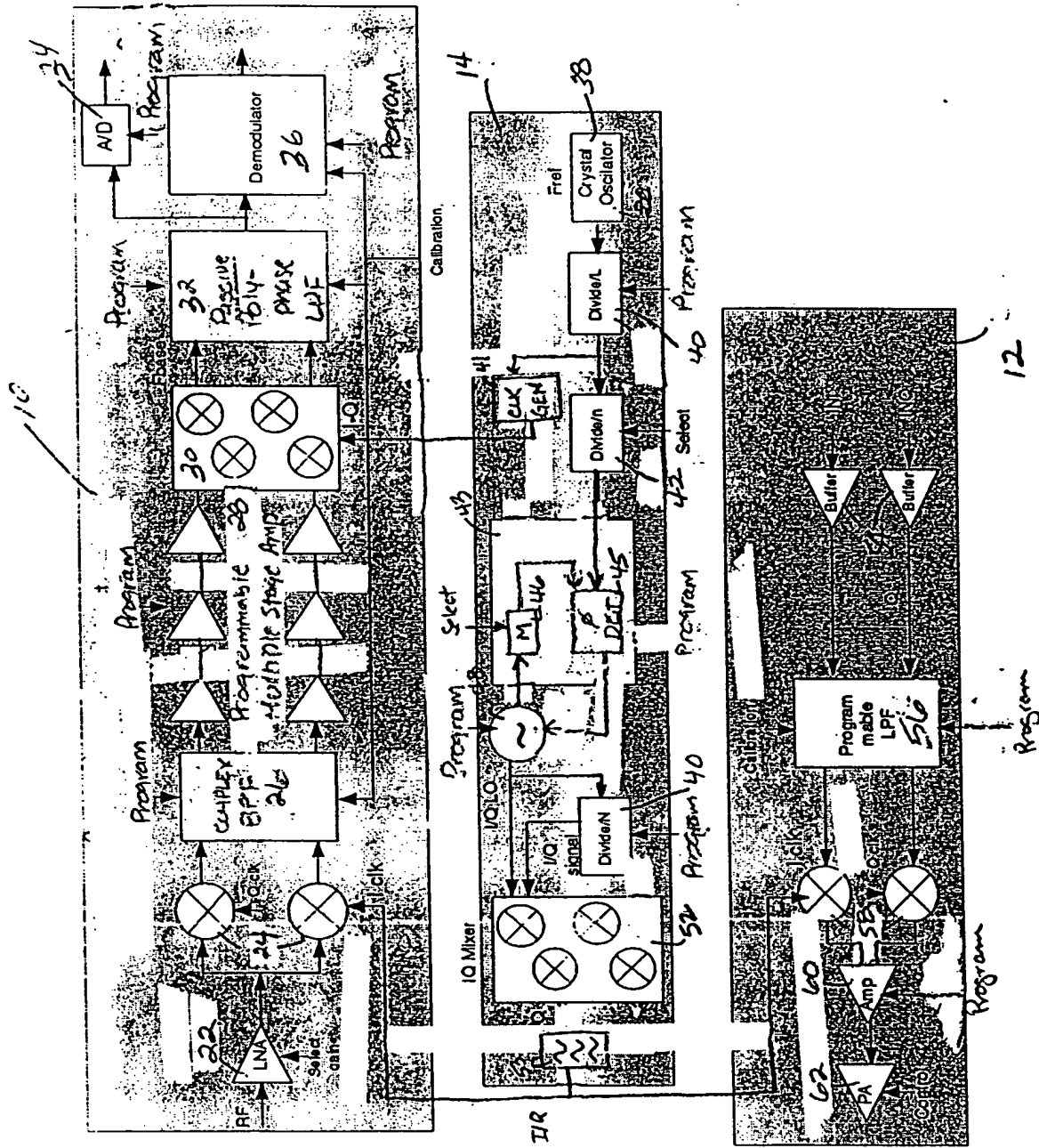


FIG. 2

002201 26486960

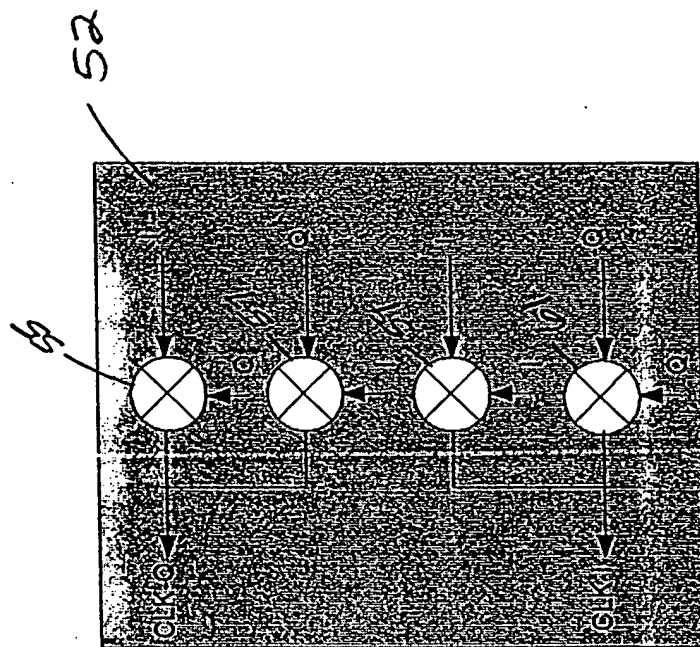


FIG. 3

09698497.1027000

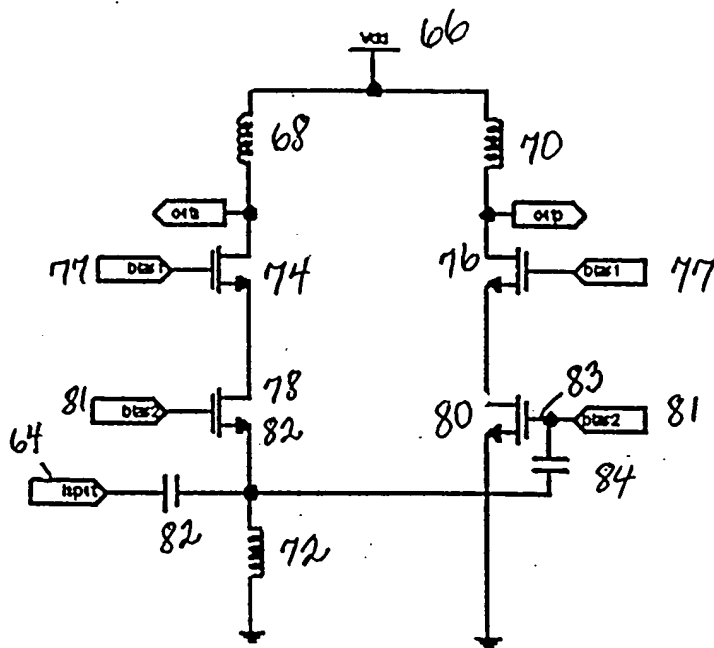


FIG. 4

09698497, 102700, 00/20T, 26486960

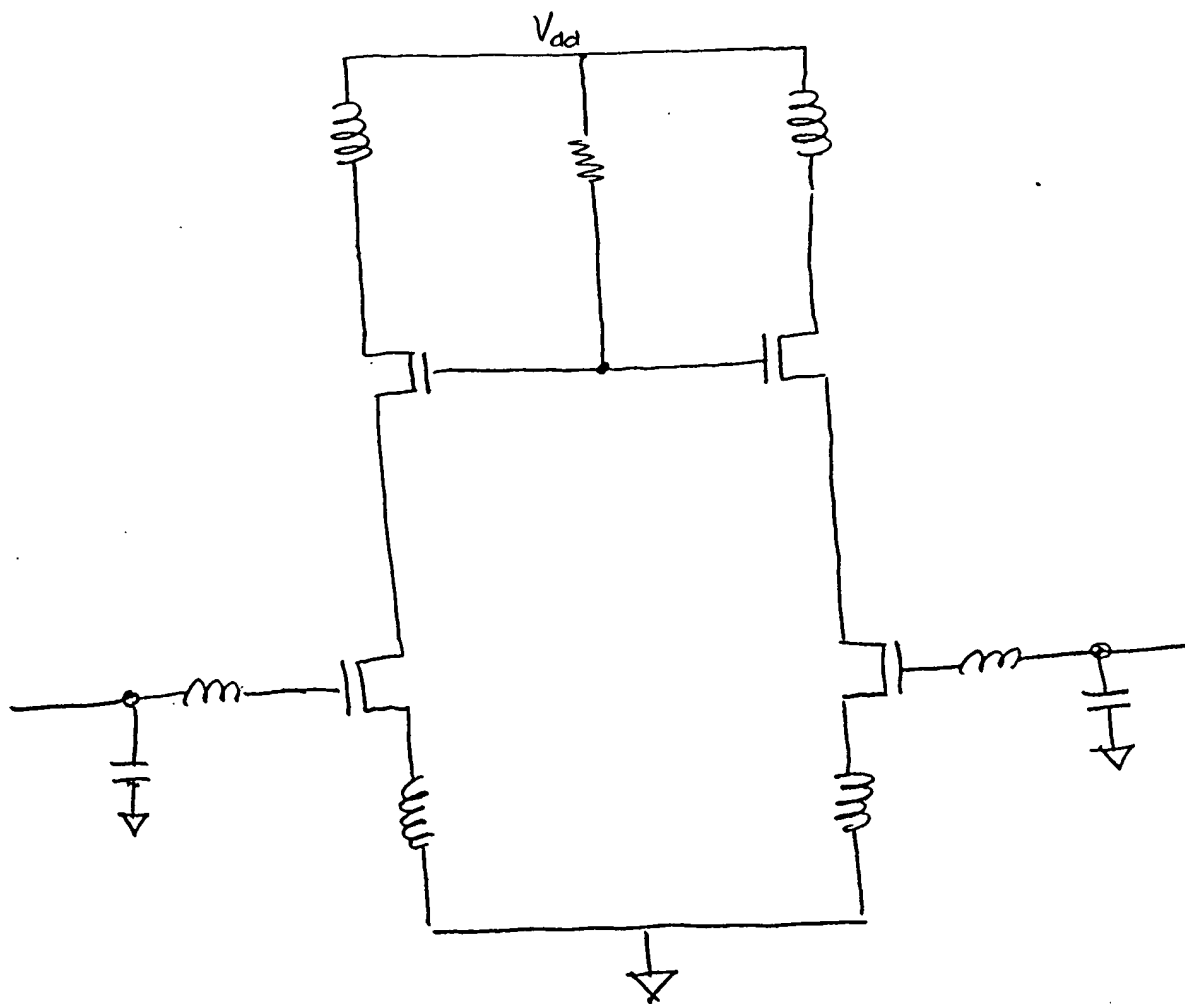


FIG. 4(a)

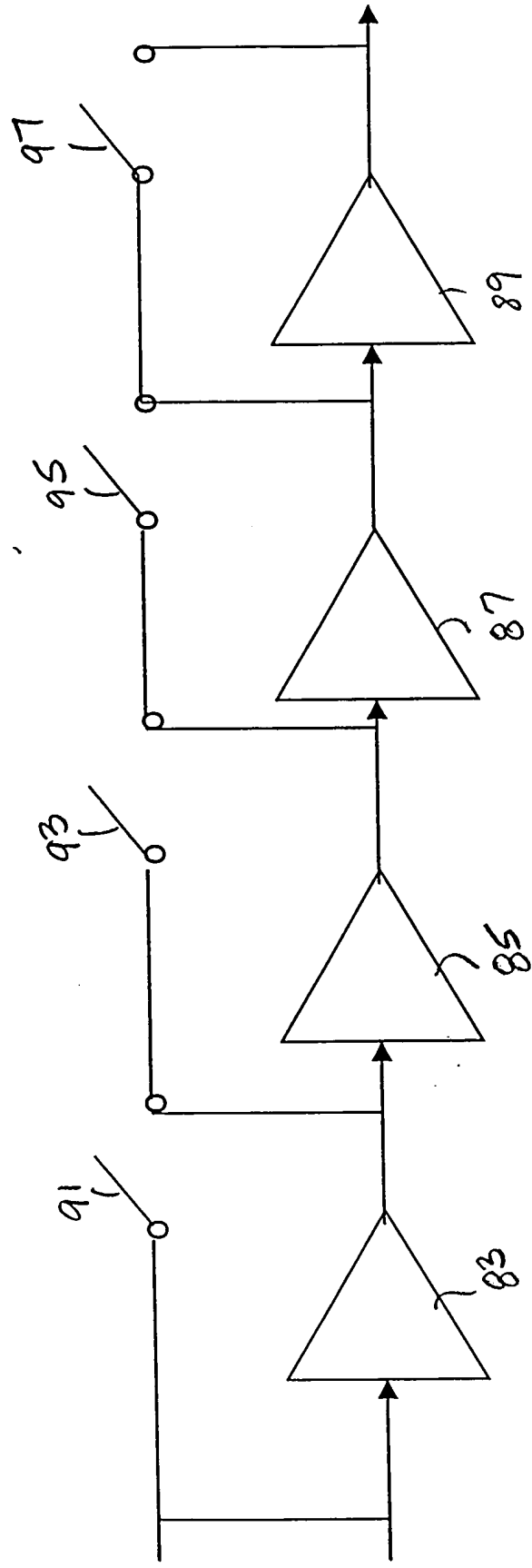


FIG. 5

09698497 102700

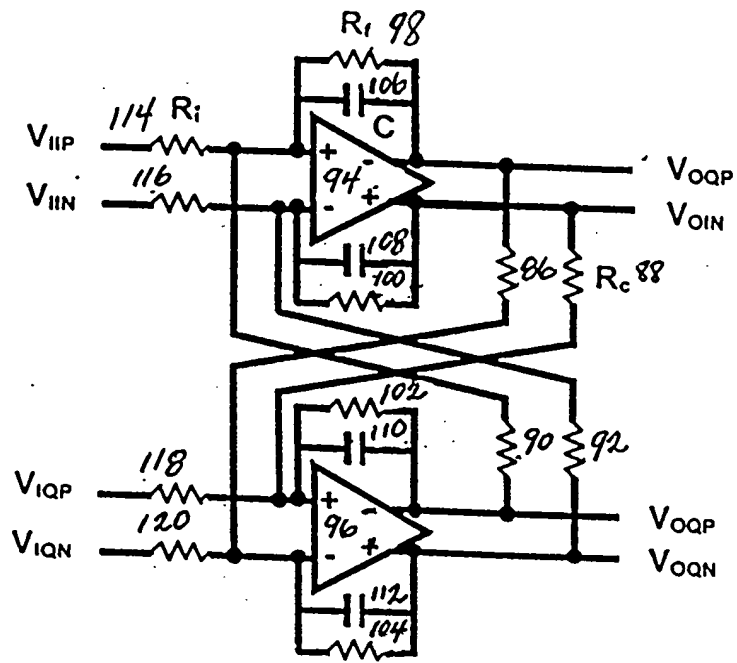


FIG. 6

002207-26486960

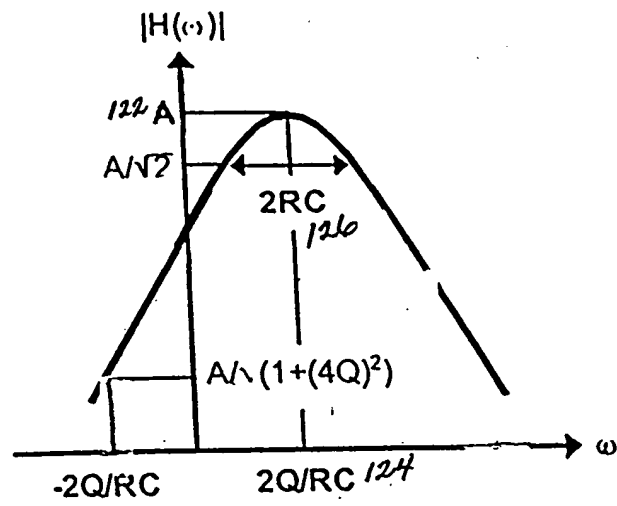


FIG. 7

002201" 26486960

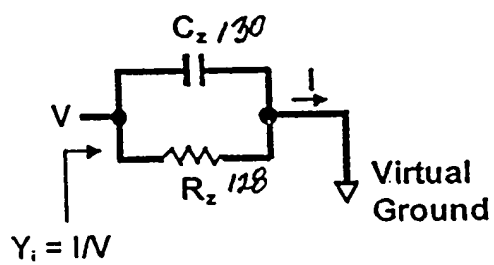


FIG. 8

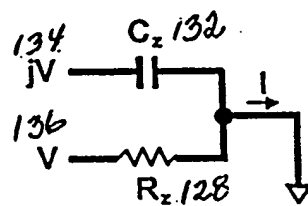


FIG. 9

002201" 25486 550

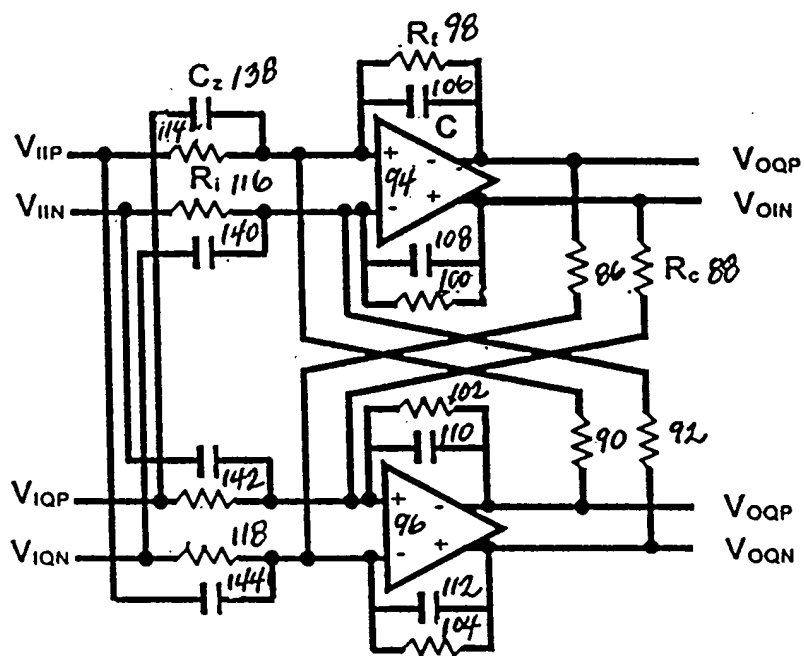


FIG. 10

100220T 26486960

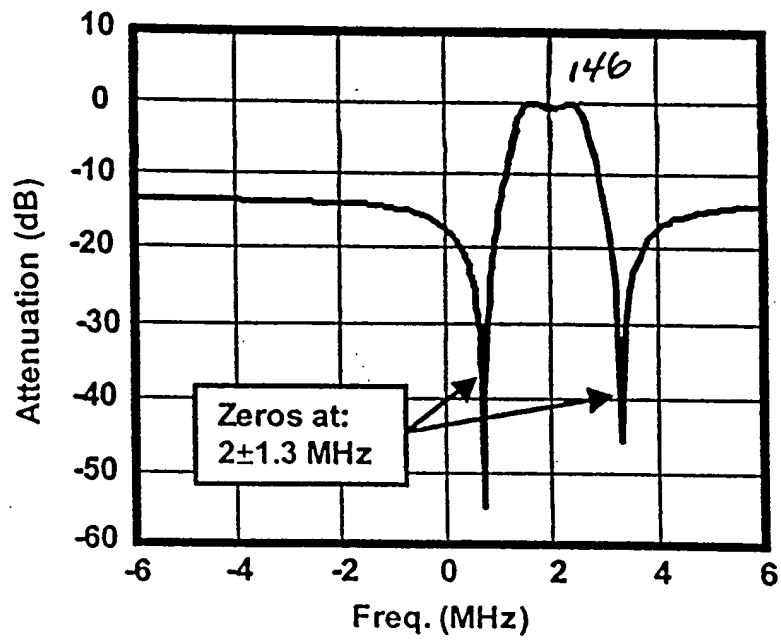


FIG. 11

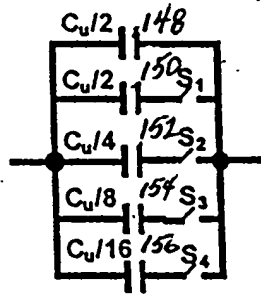


FIG. 12(a)

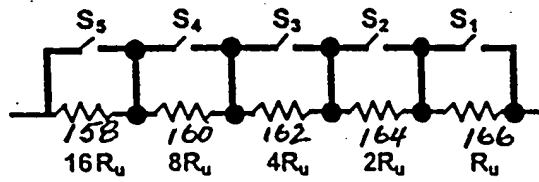


FIG. 12(b)

09608497 101000

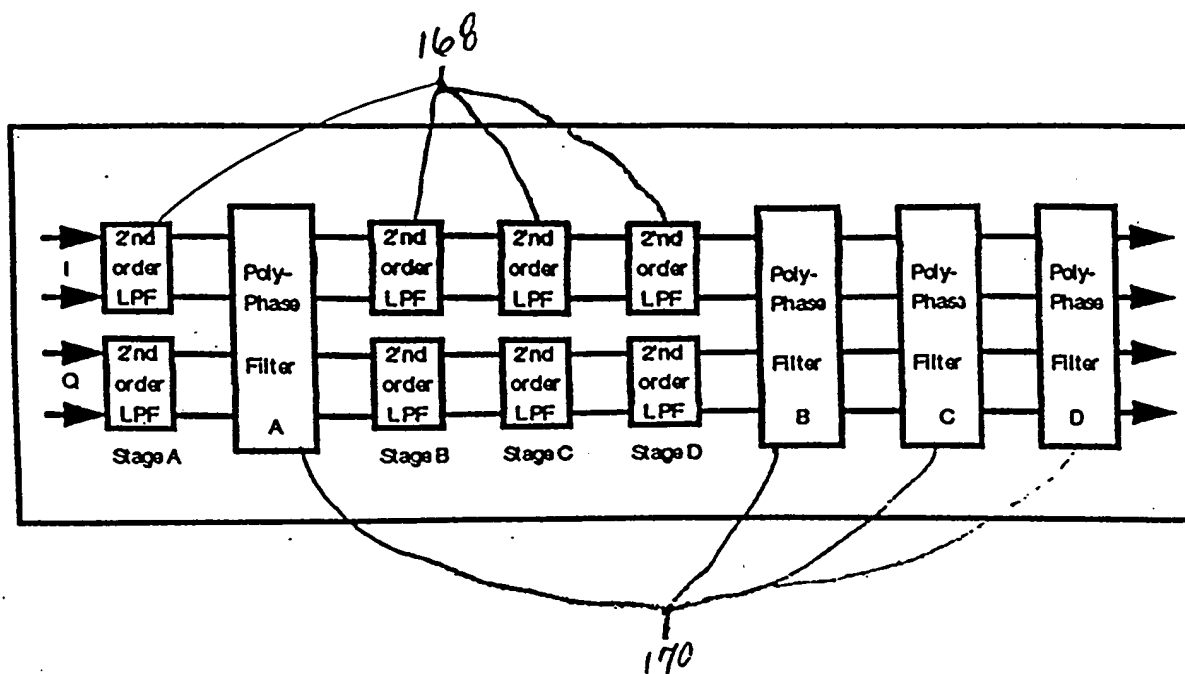


FIG. 13

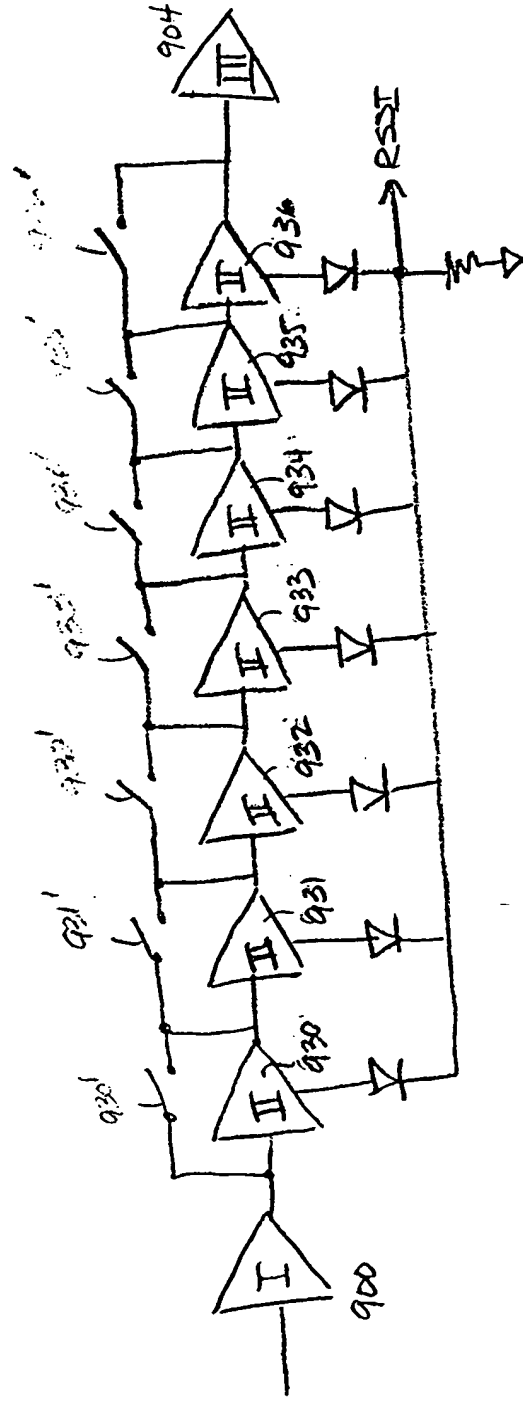


FIG. 14

09698497-102700

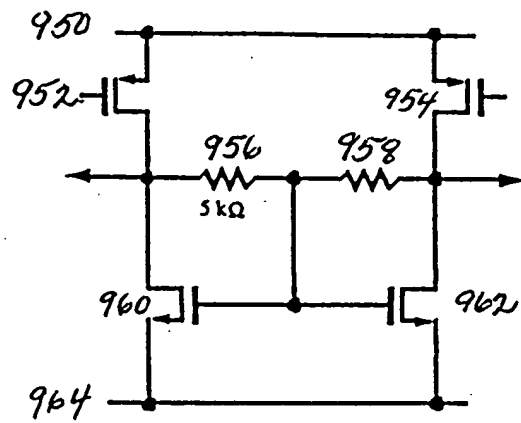


FIG. 15

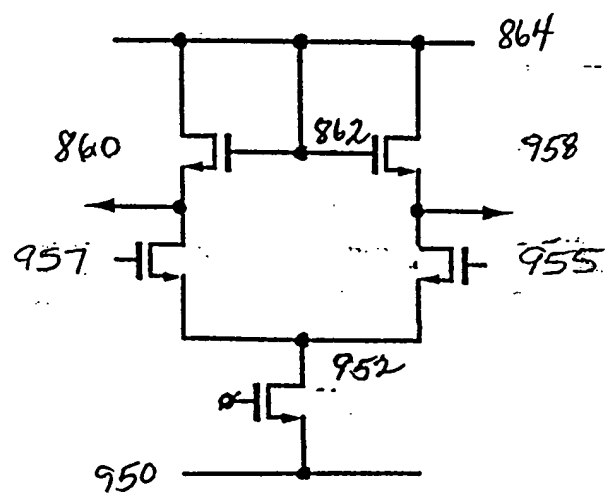


FIG. 1b(a)

09698497-102700

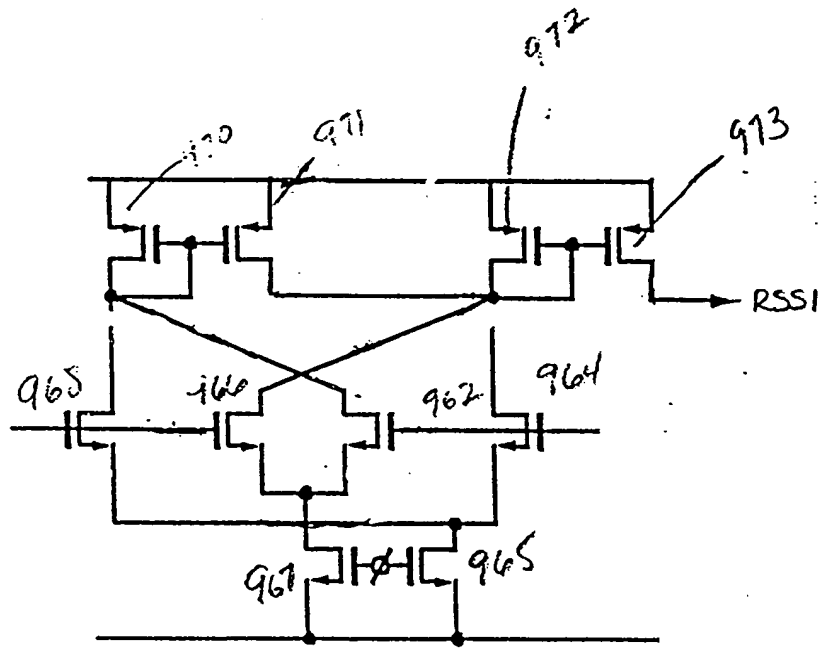


FIG. 16(b)

FIG. 17(a)

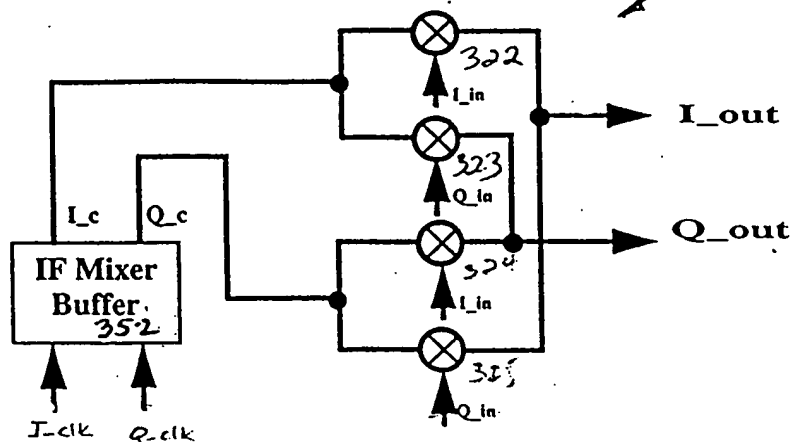


FIG. 17(b)

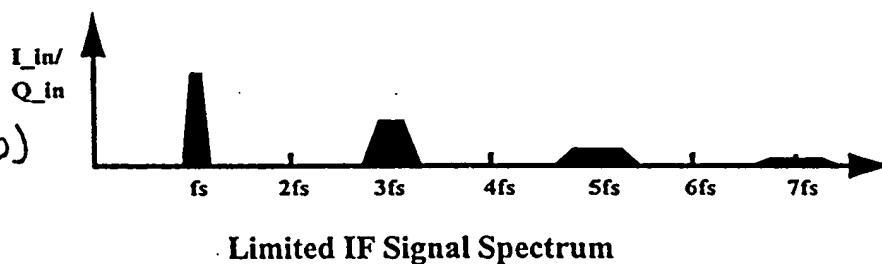


FIG. 17(c)

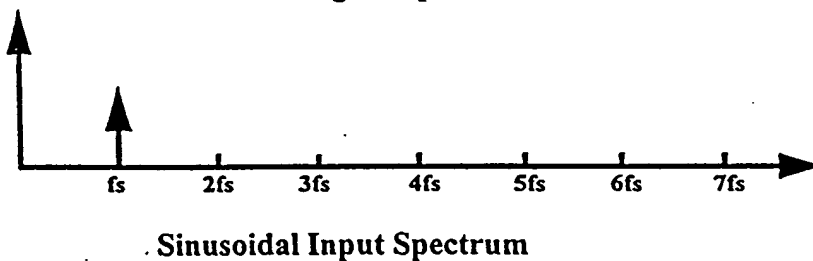


FIG. 17(d)

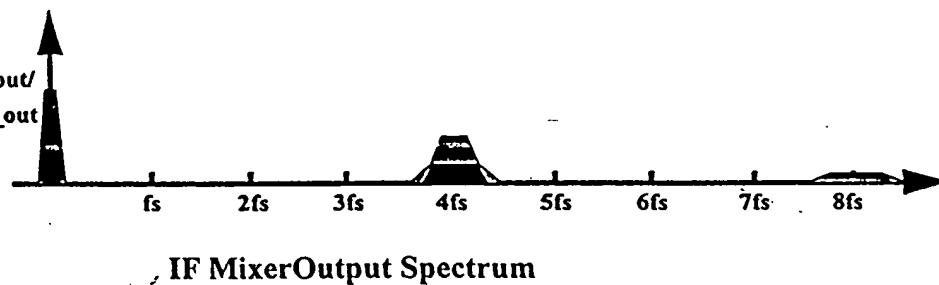


FIG. 18

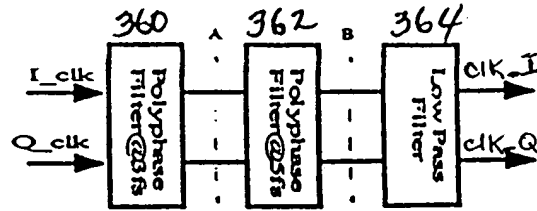


FIG. 19(a)

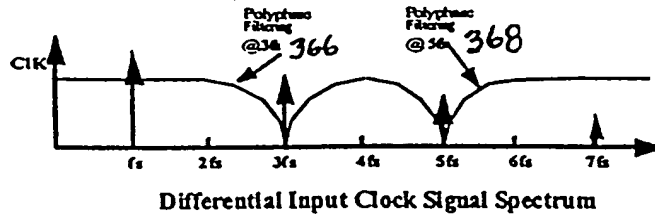


FIG. 19(b)

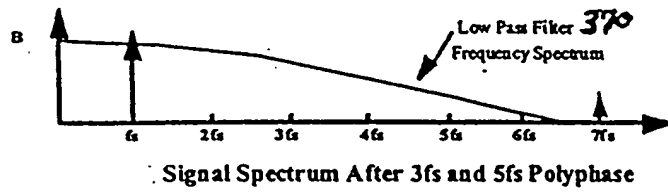
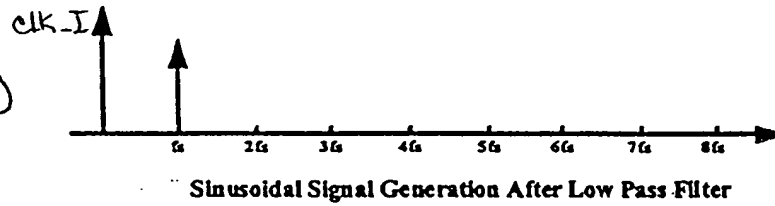


FIG. 19(c)



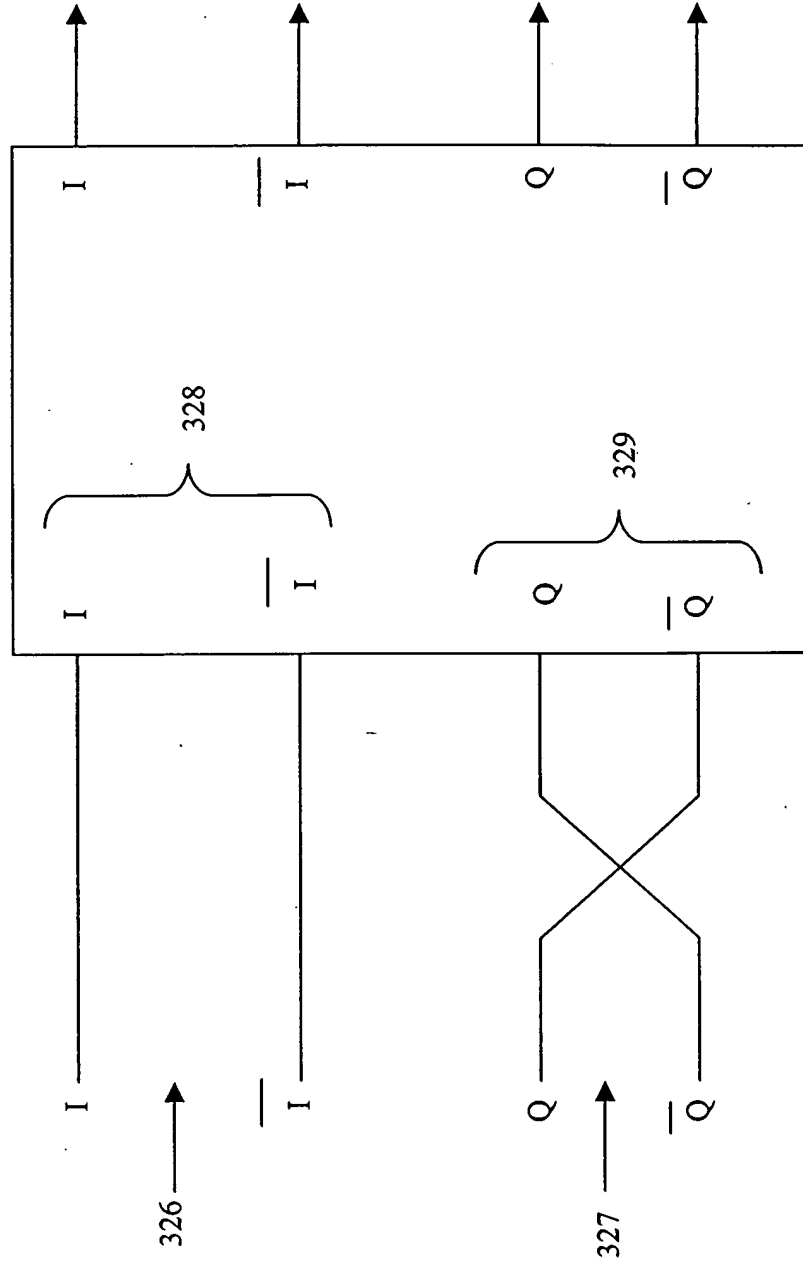


FIG. 19d

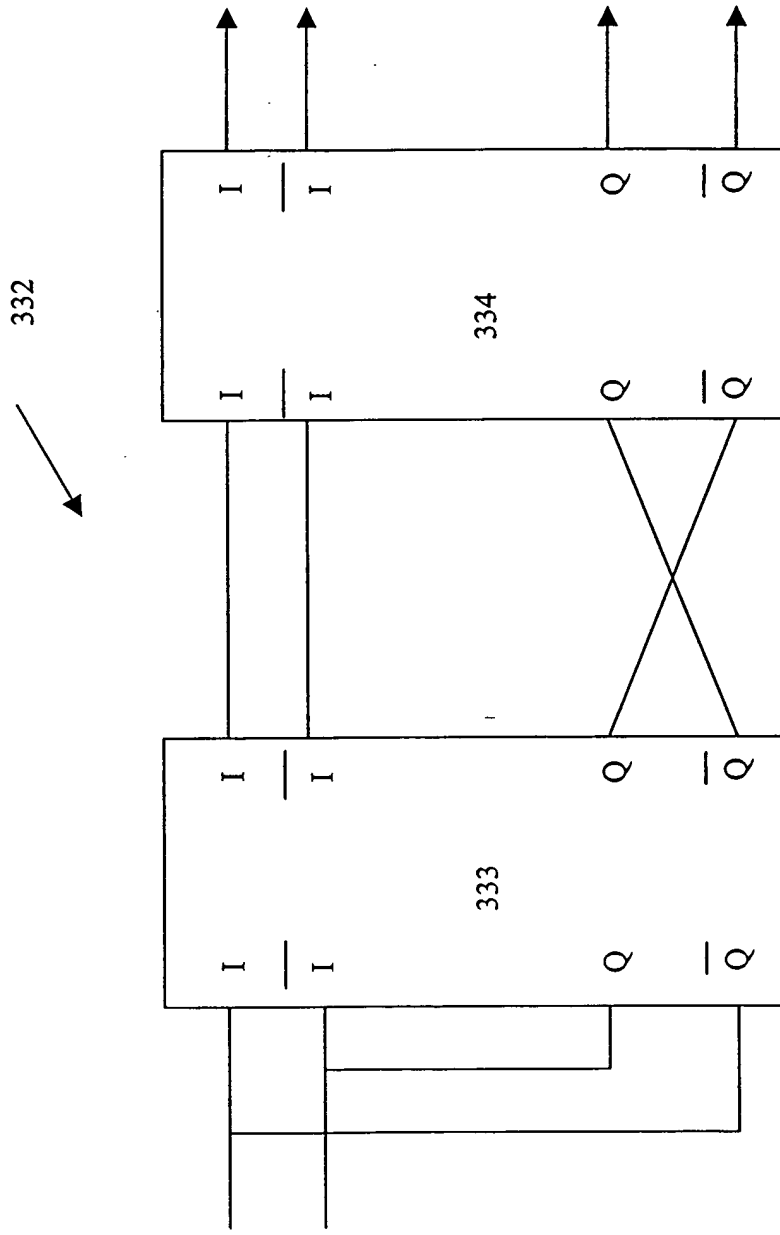


FIG. 19e

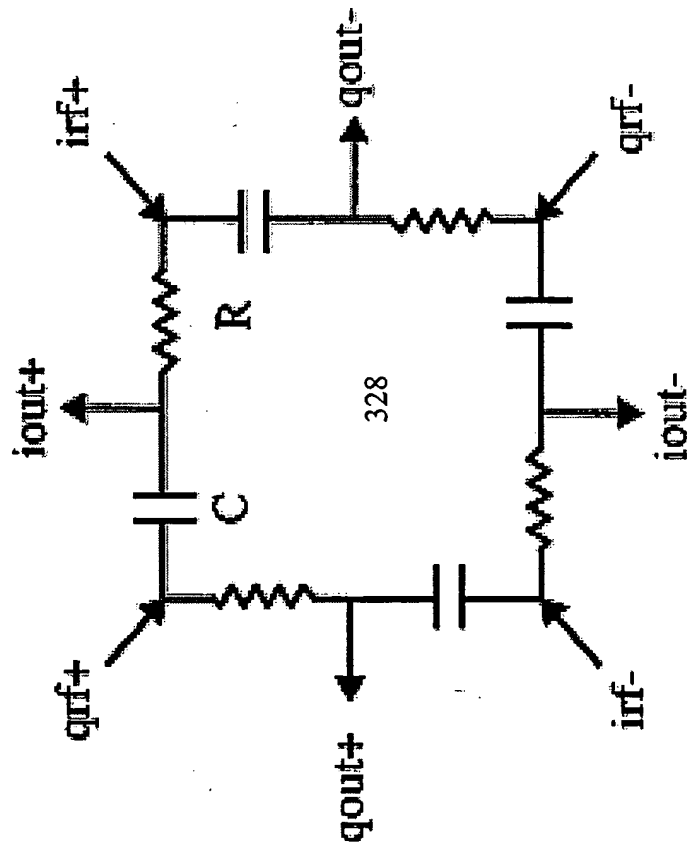
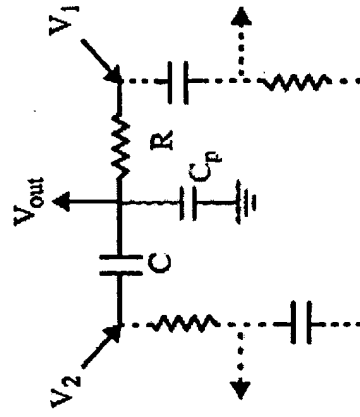


FIG. 19f



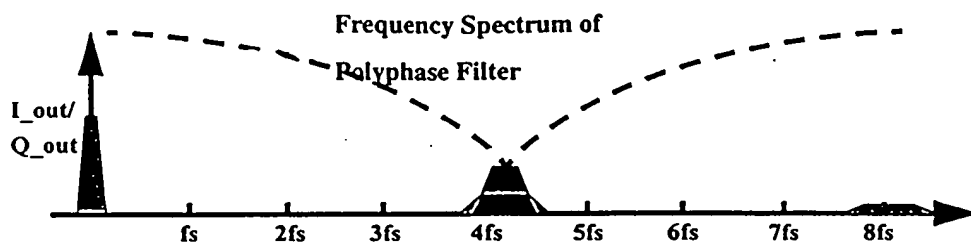
$$\omega_p = \frac{1}{R(C_p + C)}$$

$$\omega_o = \frac{1}{RC}$$

$$V_{out} = \frac{V_1}{R(C_p + C)s + 1} + \frac{V_2 RCs}{R(C_p + C)s + 1}$$

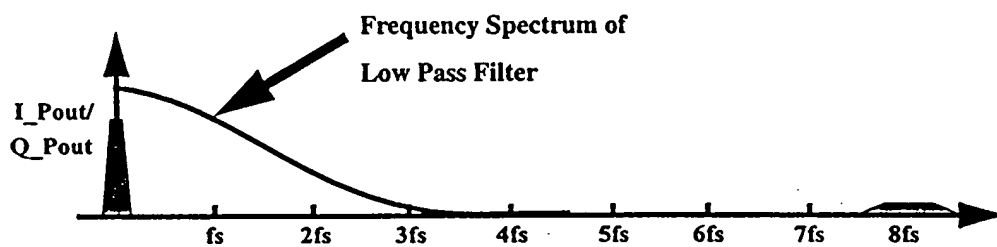


FIG. 19g



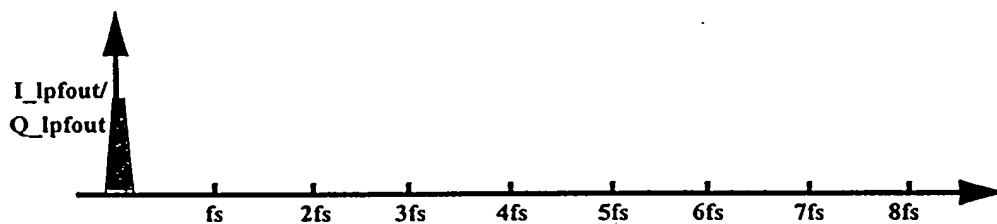
Signal Spectrum at Polyphase Input

FIG. 20(a)



Signal Spectrum at Polyphase Output

FIG. 20(b)



Signal Spectrum at Low Pass Filter Output

FIG. 20(c)

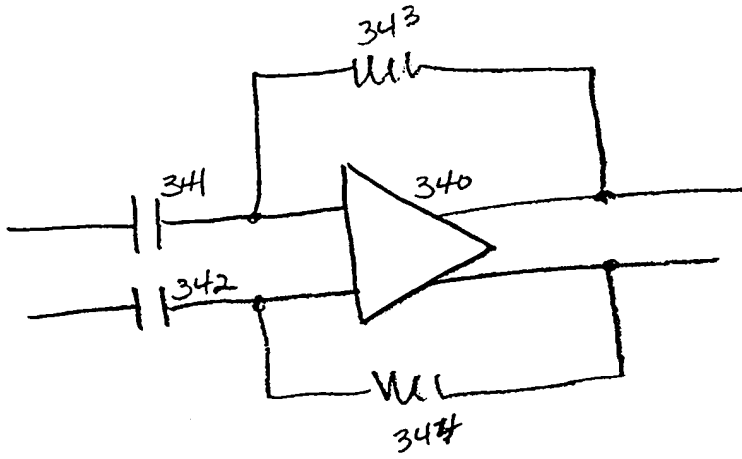


FIGURE 22

036347 = 10900

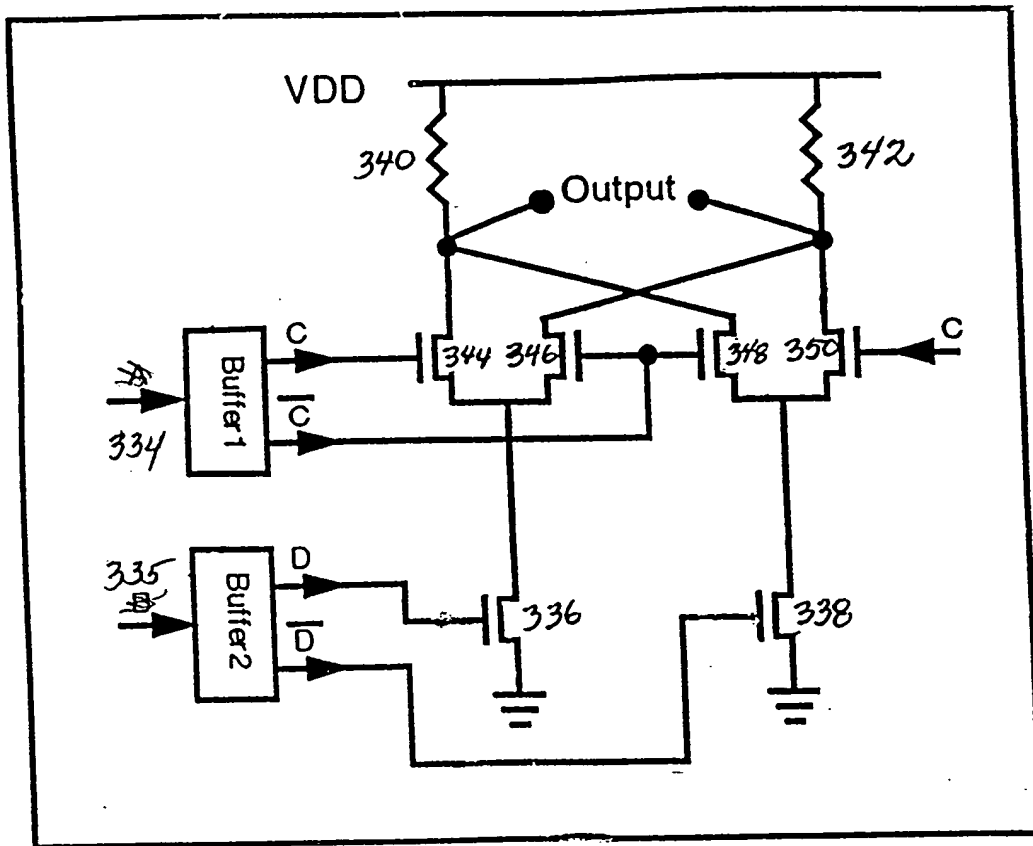


FIG. 23

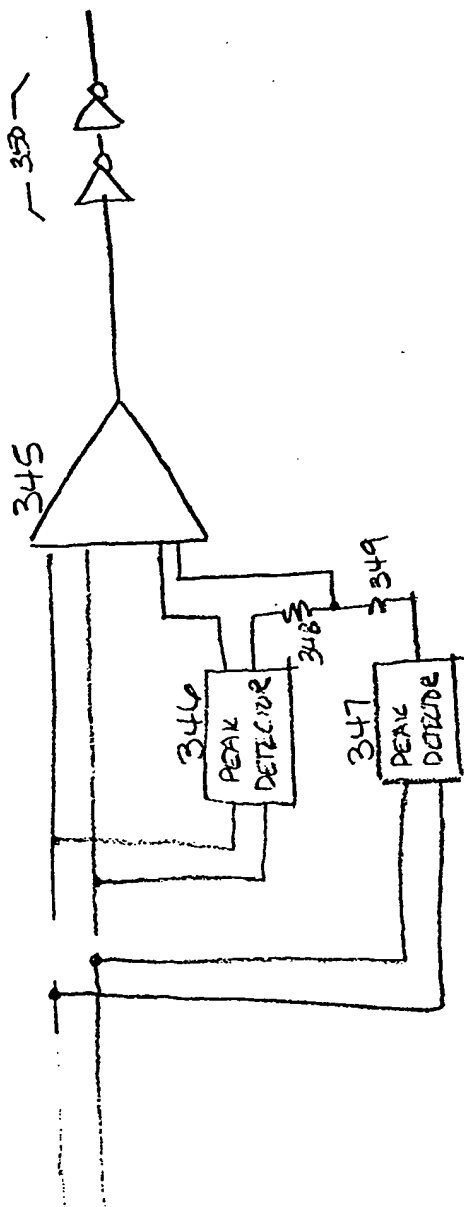


FIGURE 24

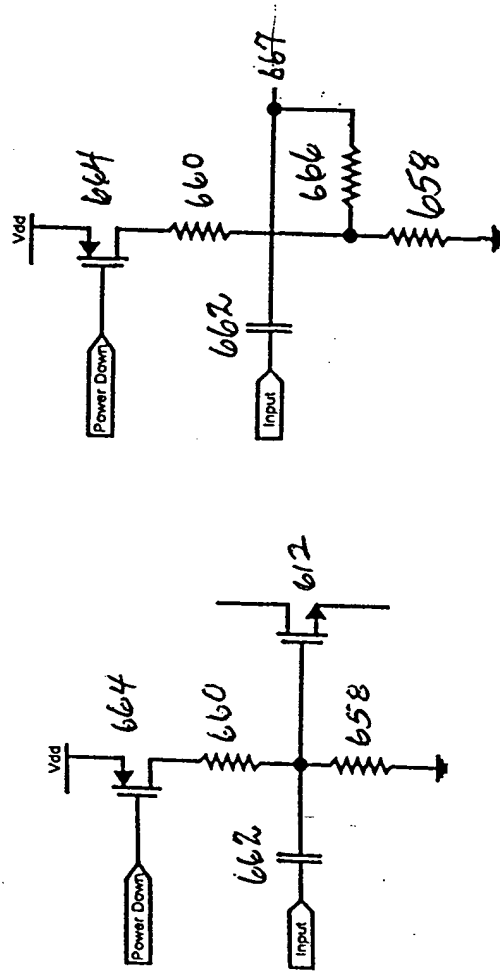


FIG. 26(a)

FIG. 26(b)

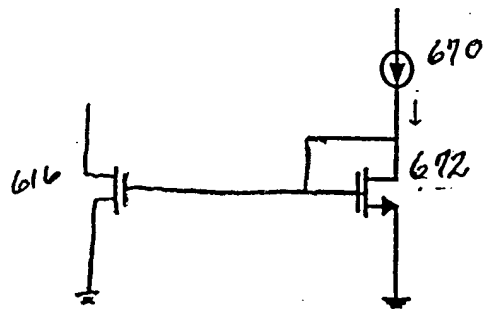


FIG. 27

09698497.102700

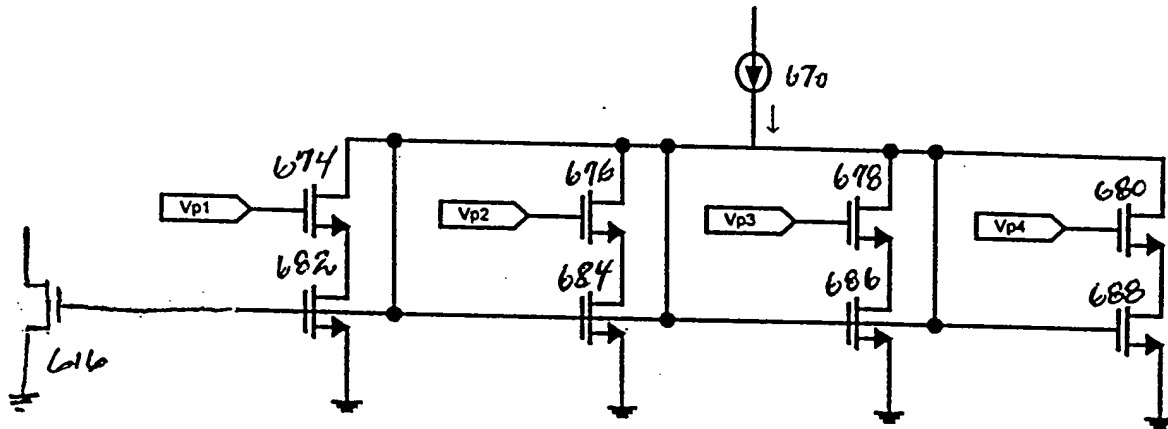


FIG. 28

09698497 102700

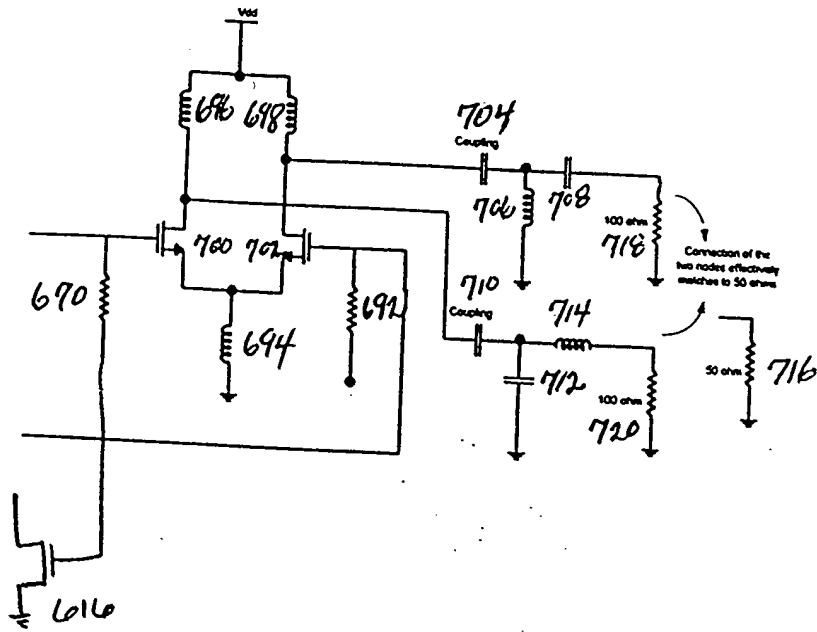


FIG. 29

002207-102700

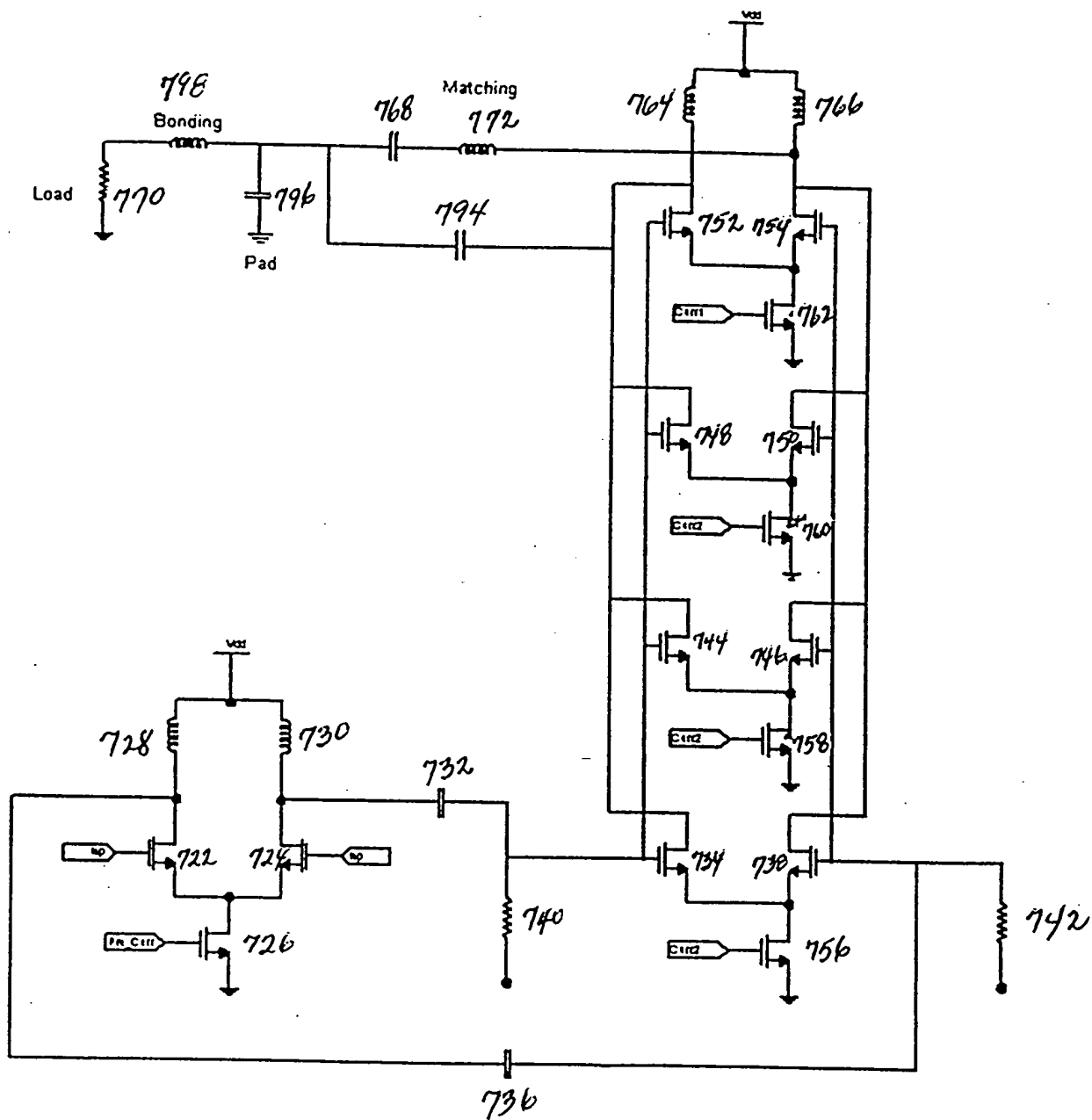


FIG. 30A

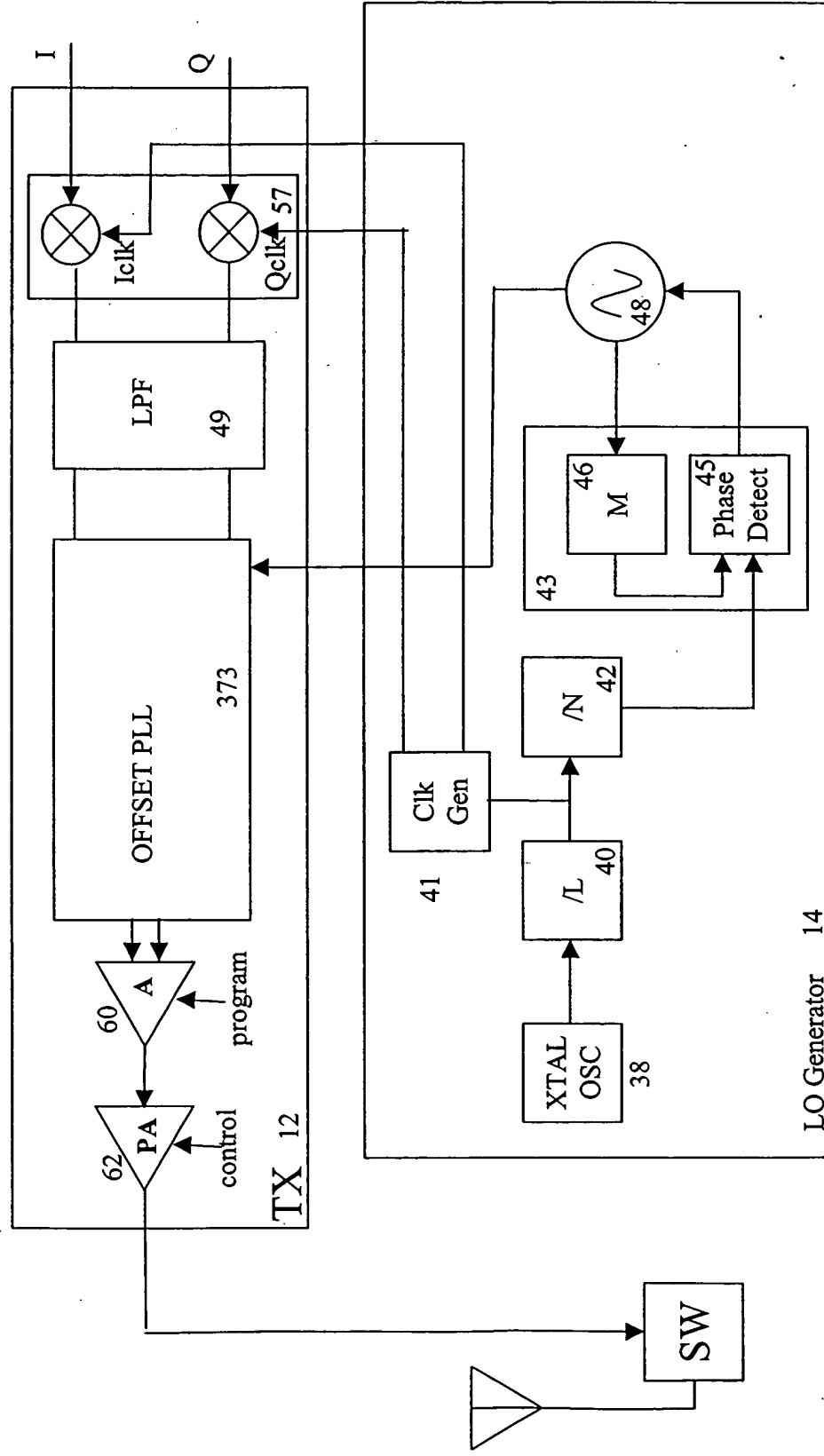


FIG. 30b

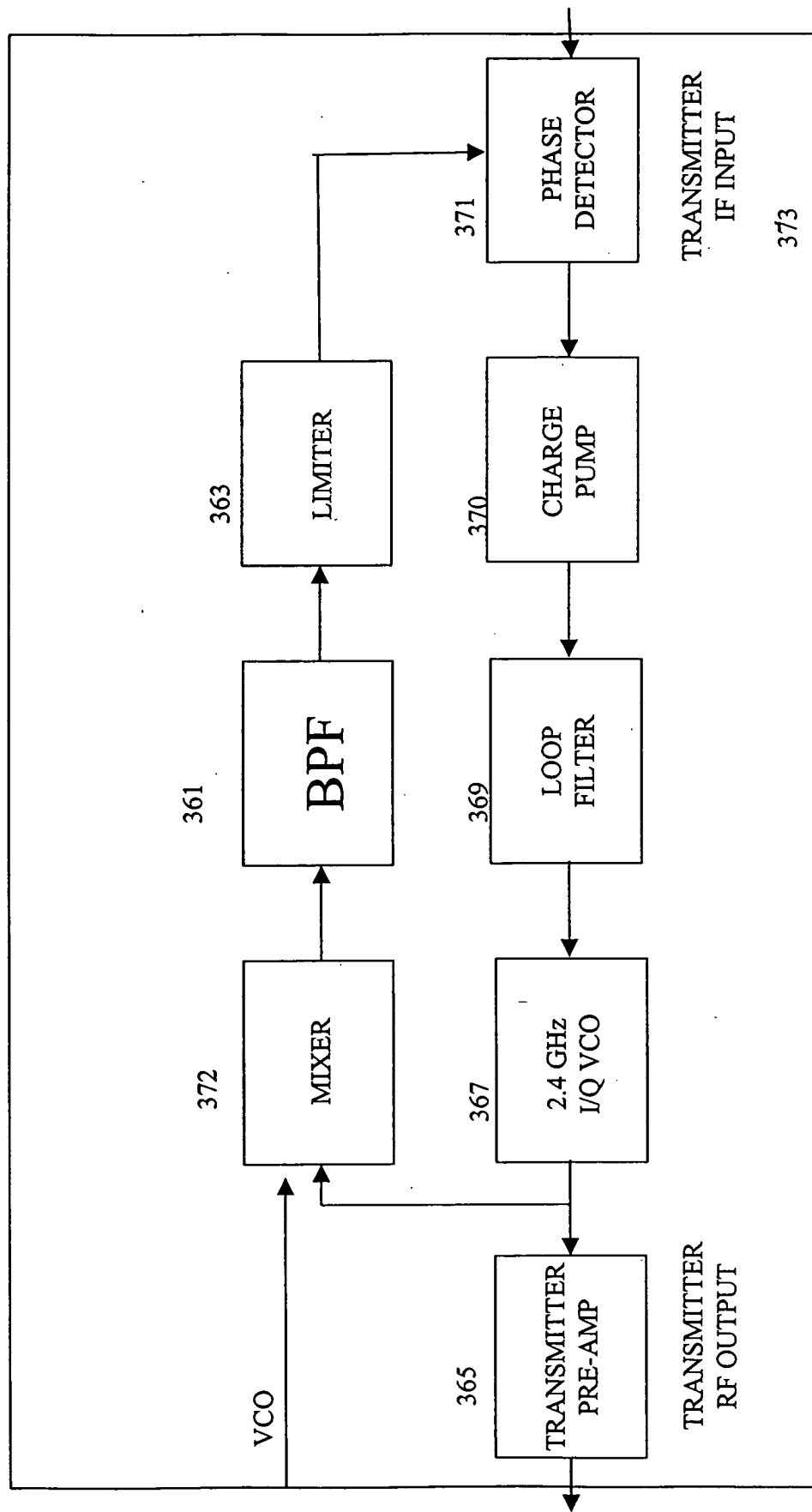


FIG. 30c

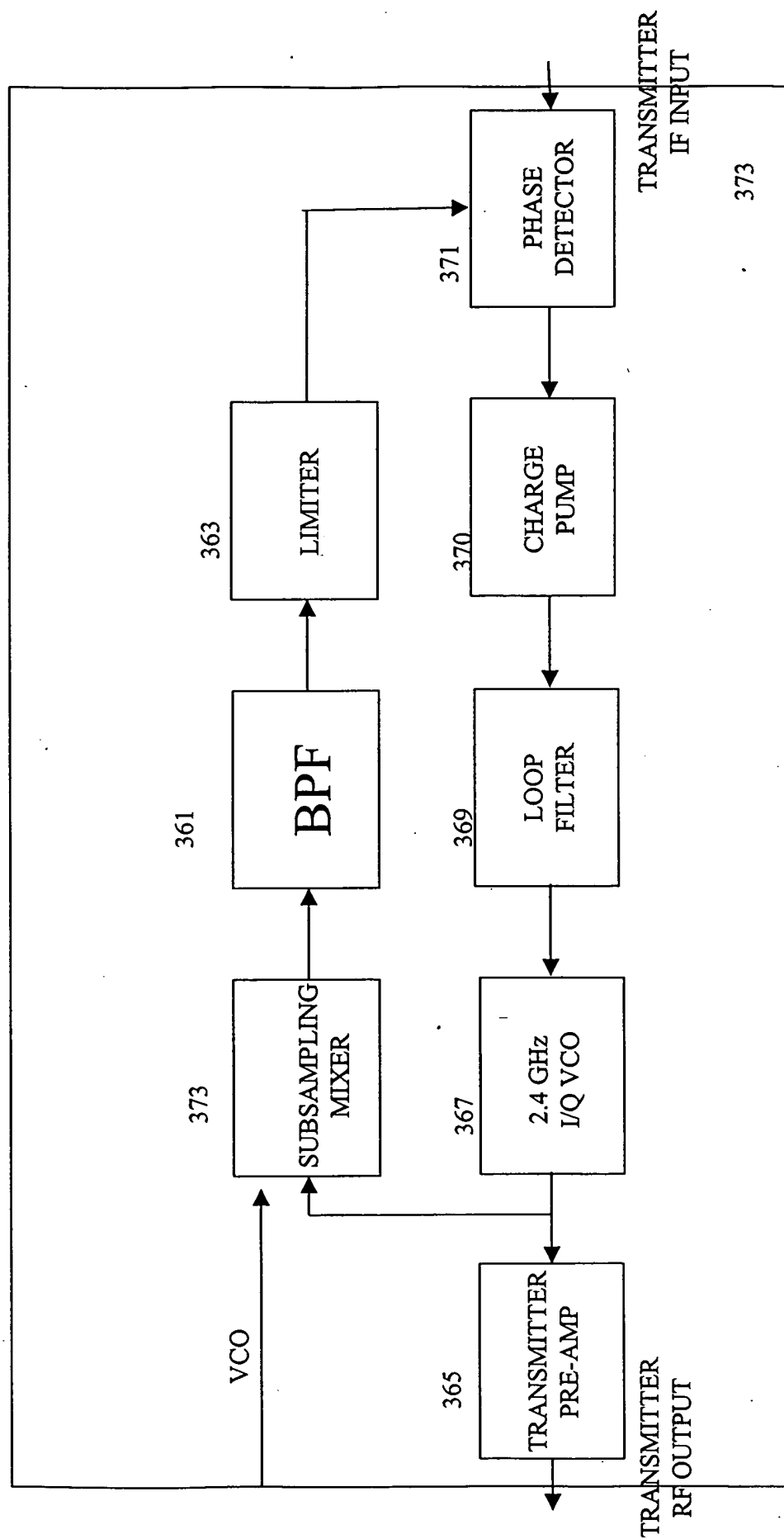


FIG. 30d

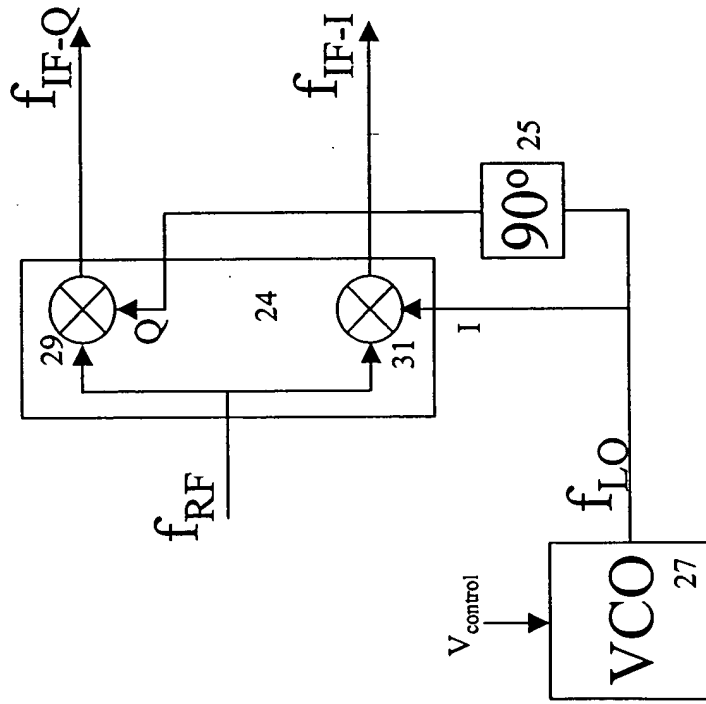


FIG. 30e

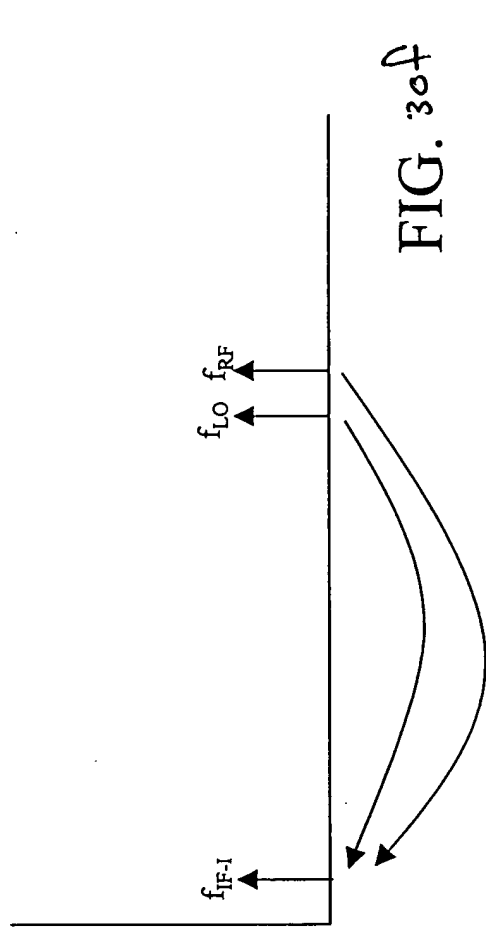


FIG. 30f

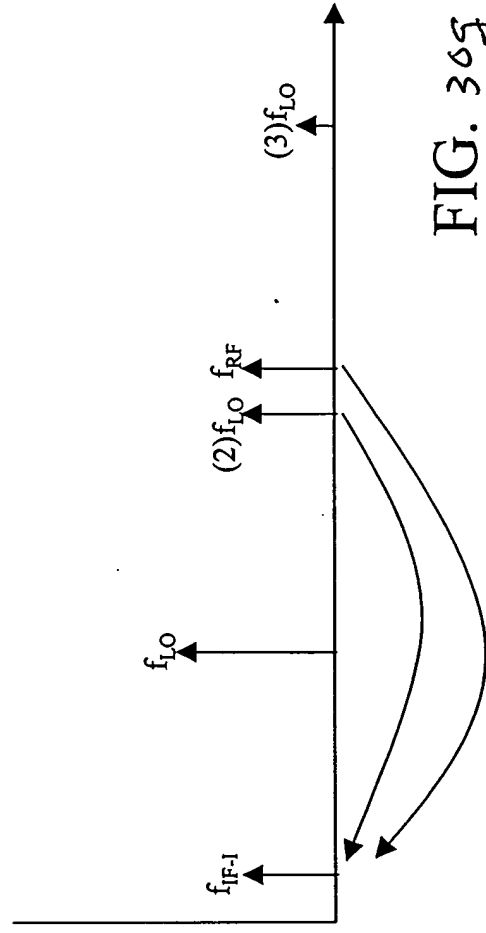


FIG. 30g

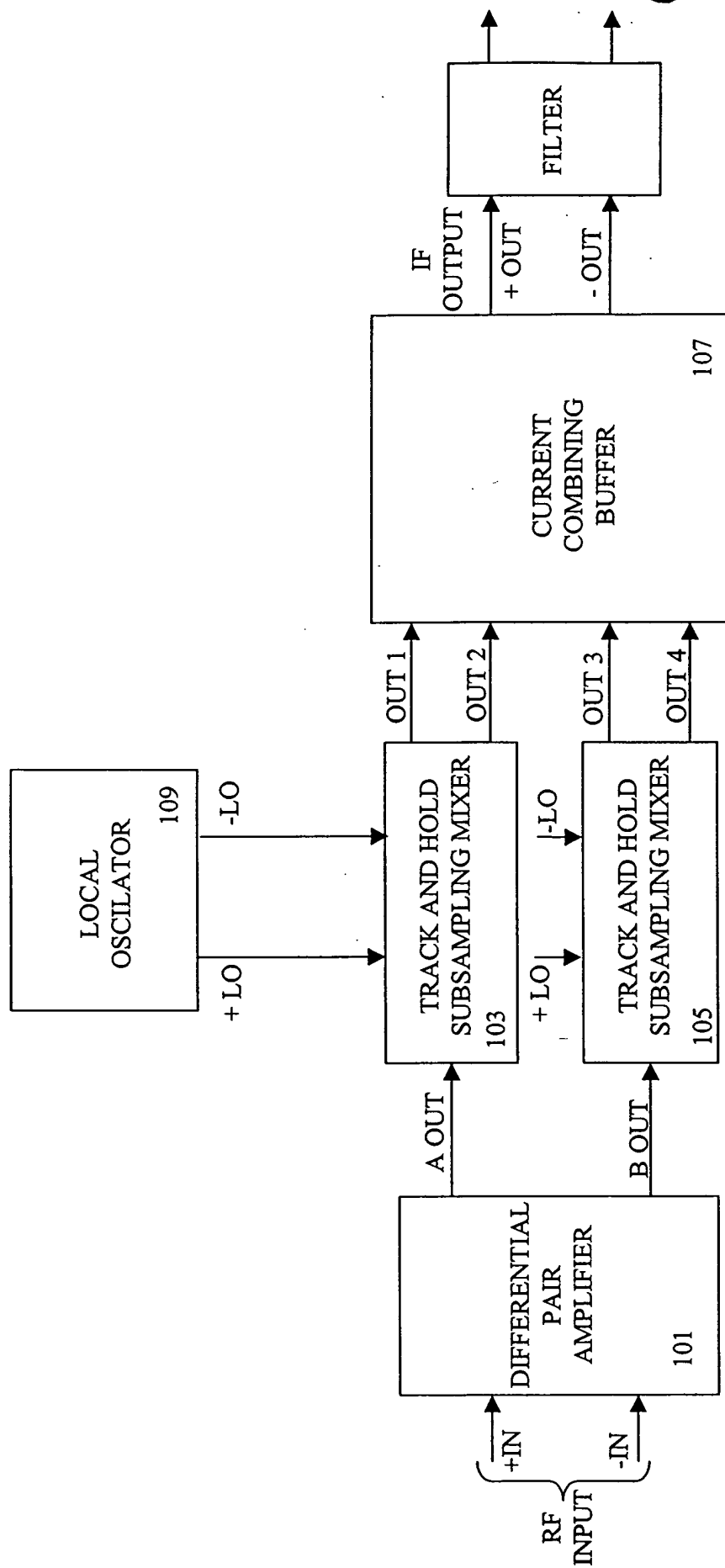


FIG. 30a

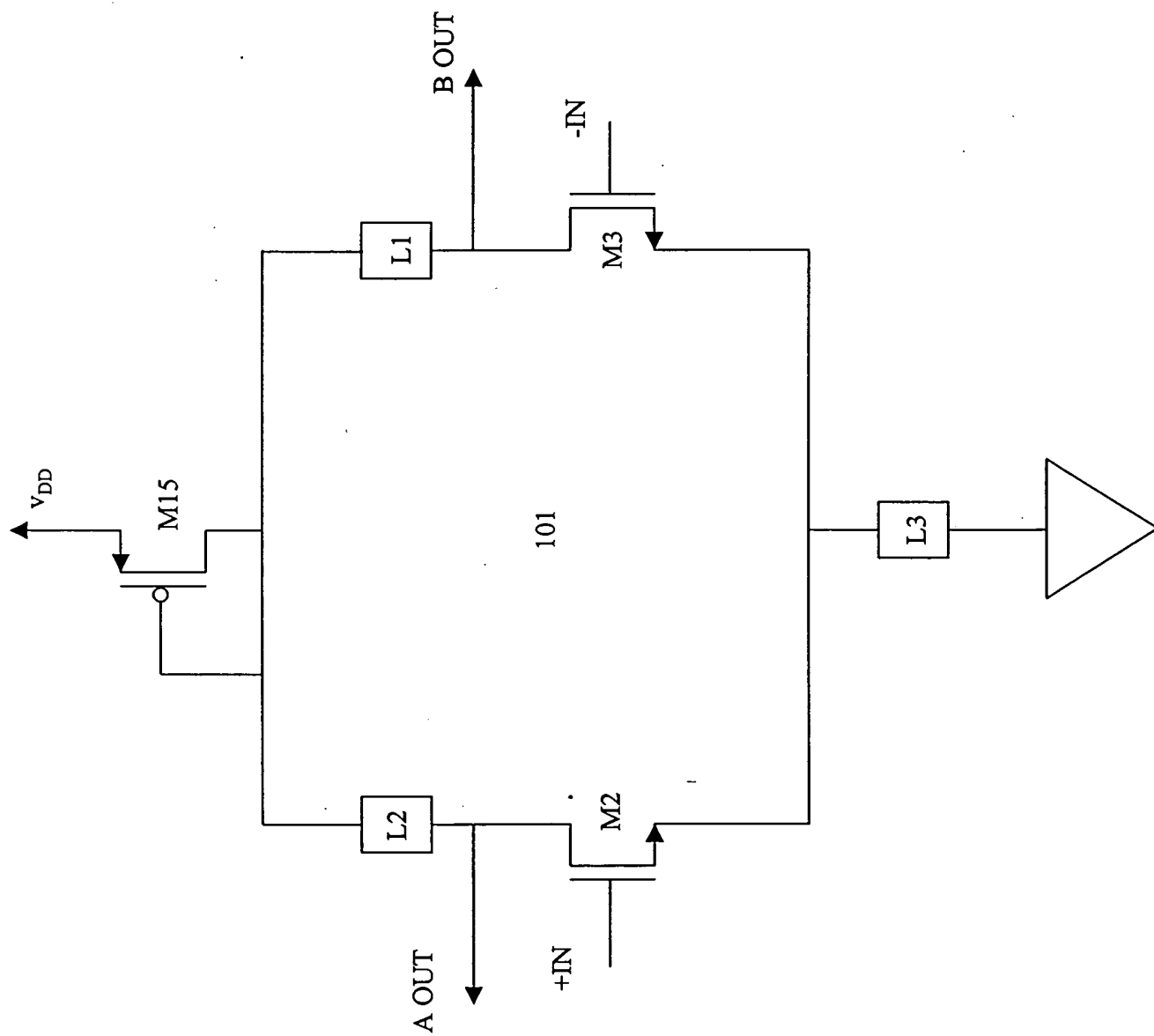


FIG. 30λ

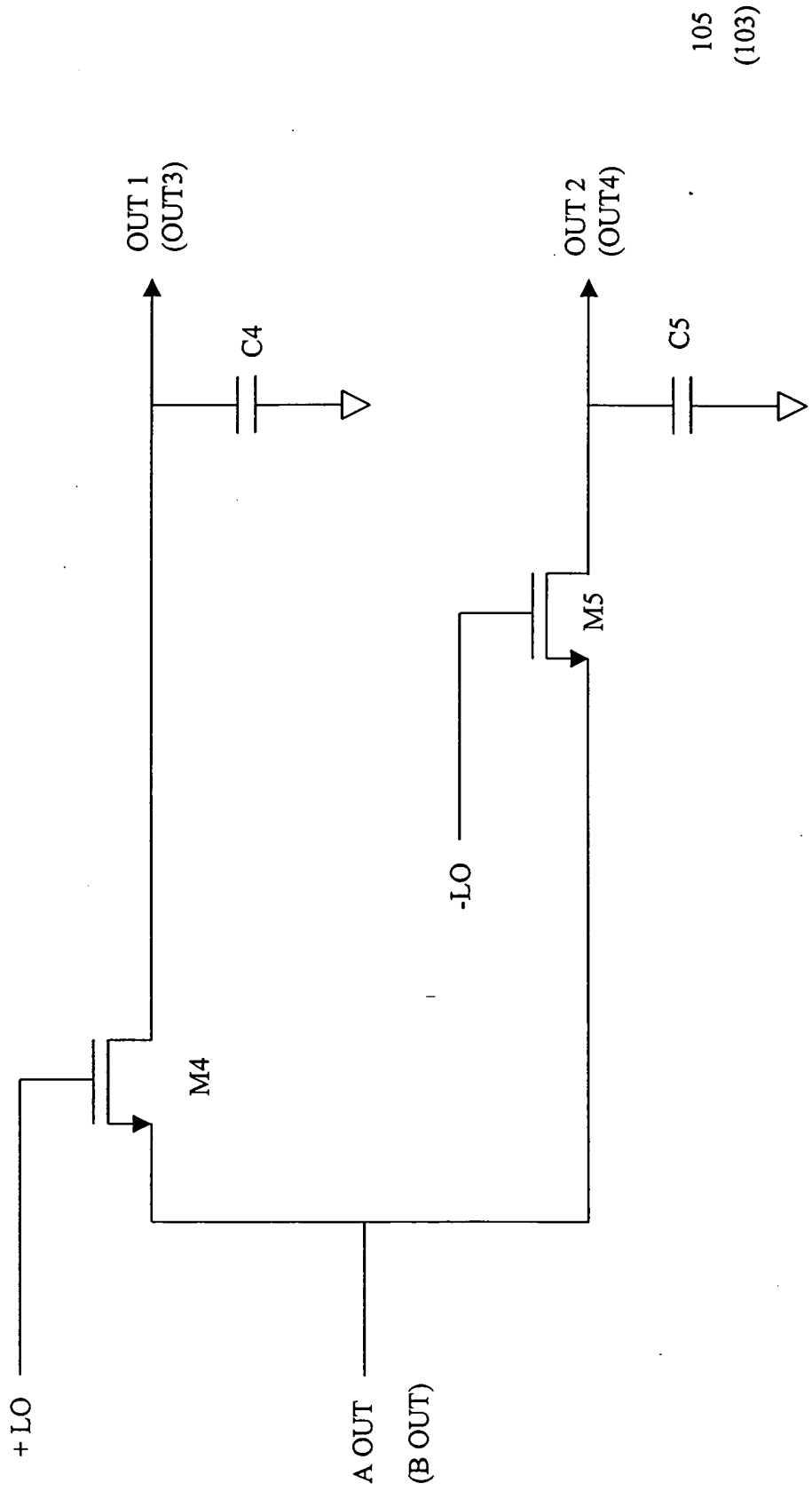
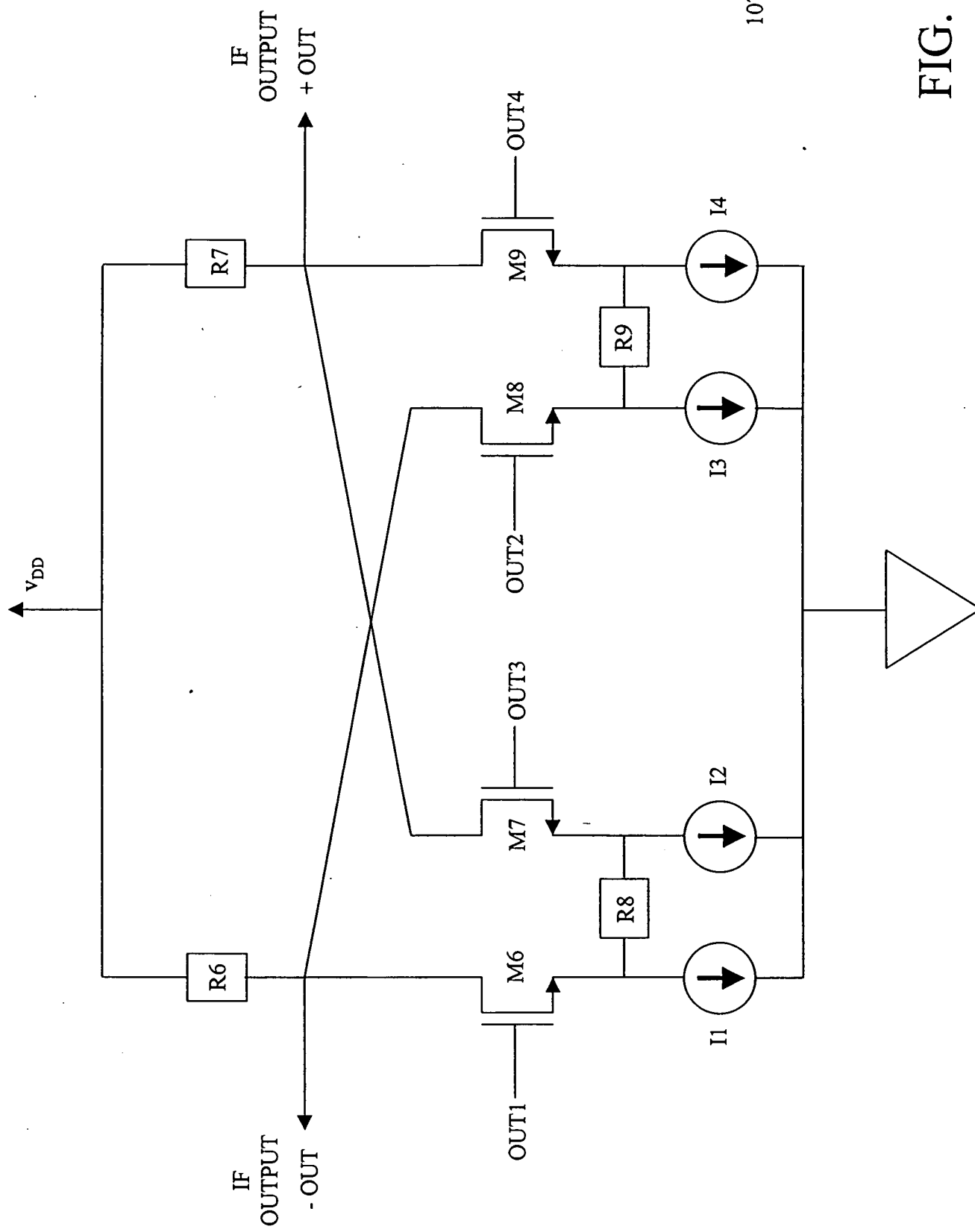


FIG. 30j



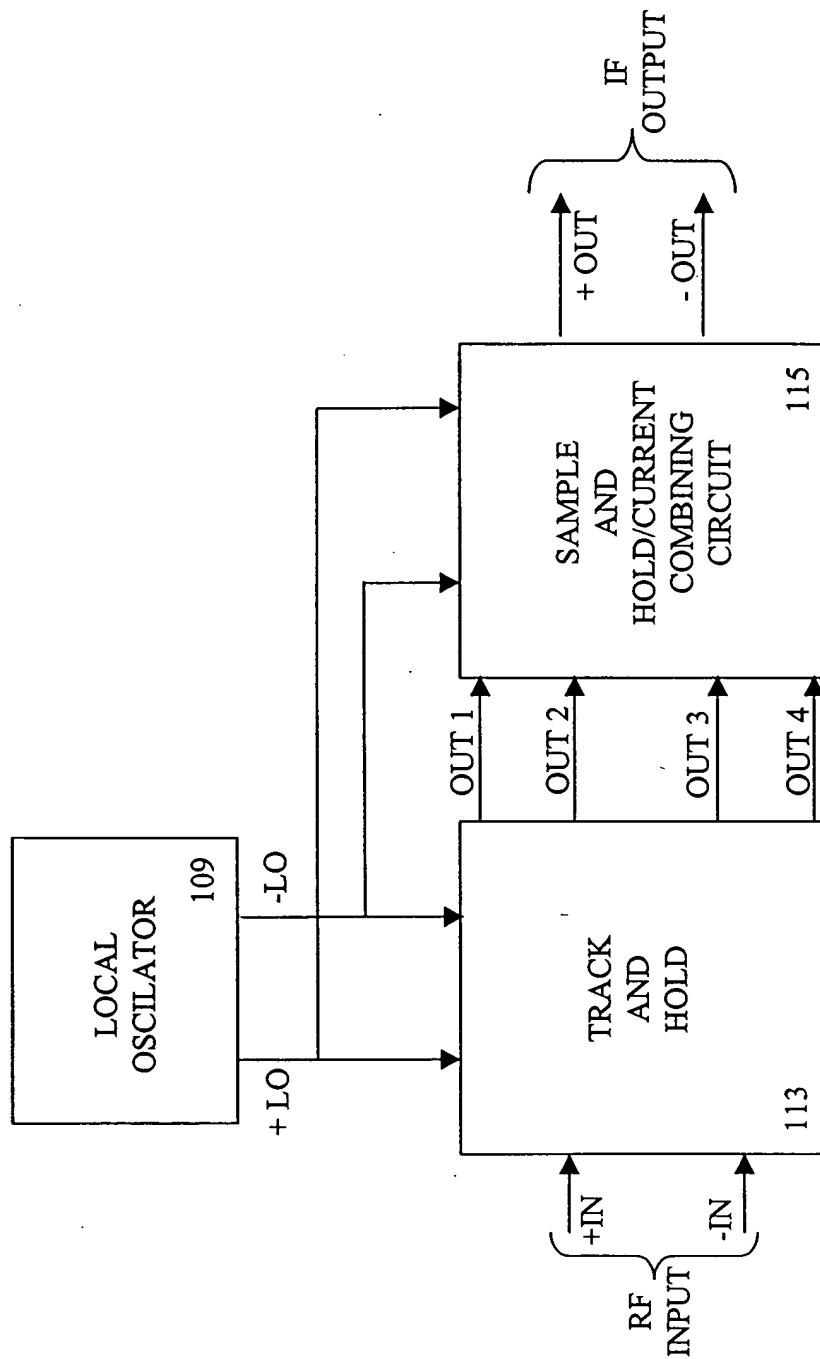




FIG. 30.m

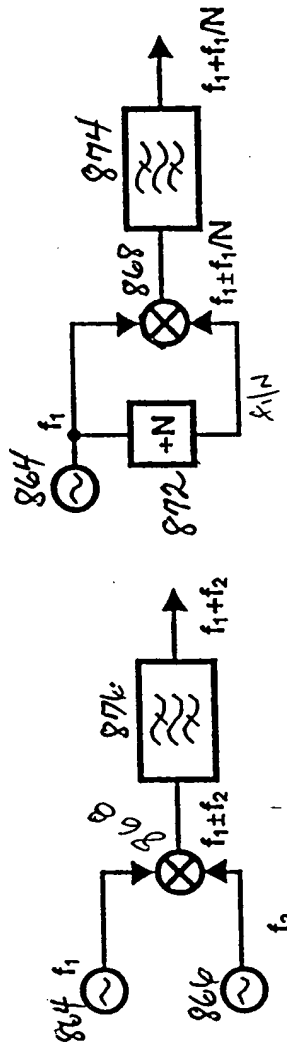


FIG. 31(a)

FIG. 31(b)

09698497.102700

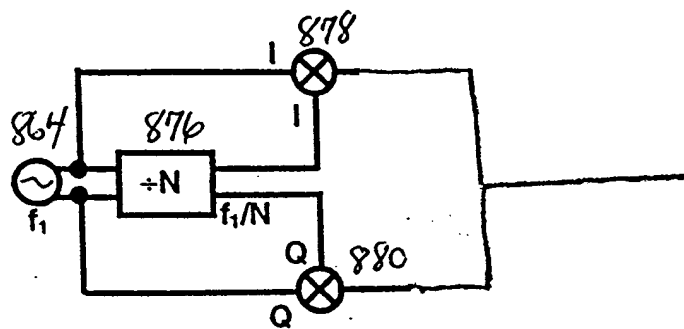


FIG. 32

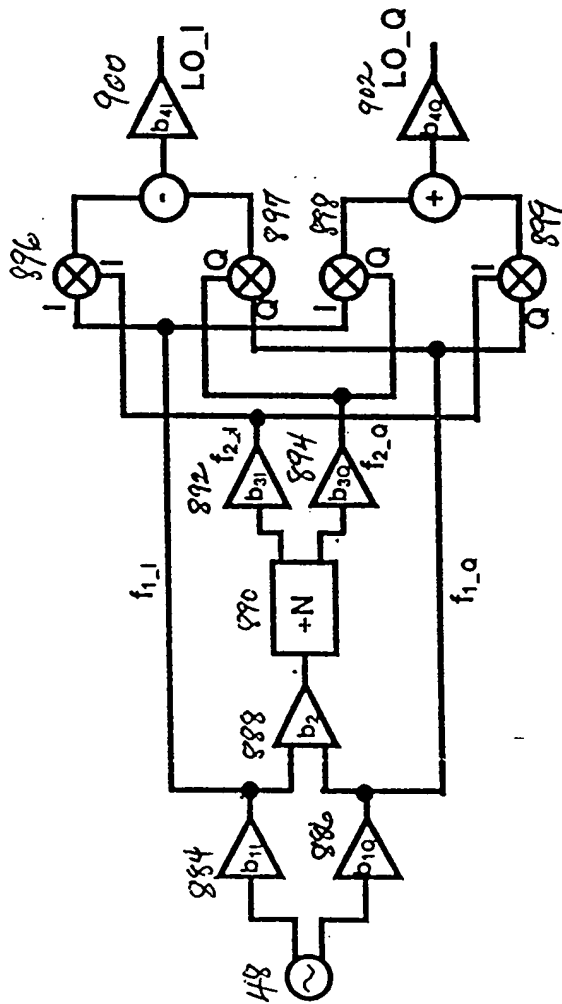


FIG. 33(a)

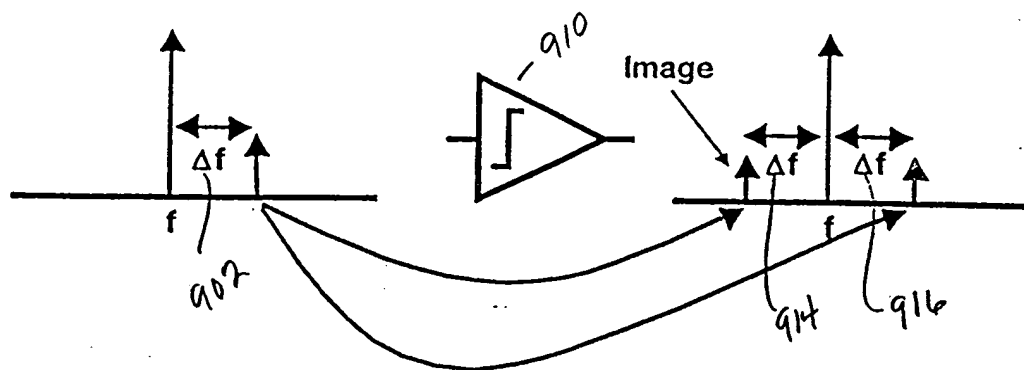


FIG. 33(b)

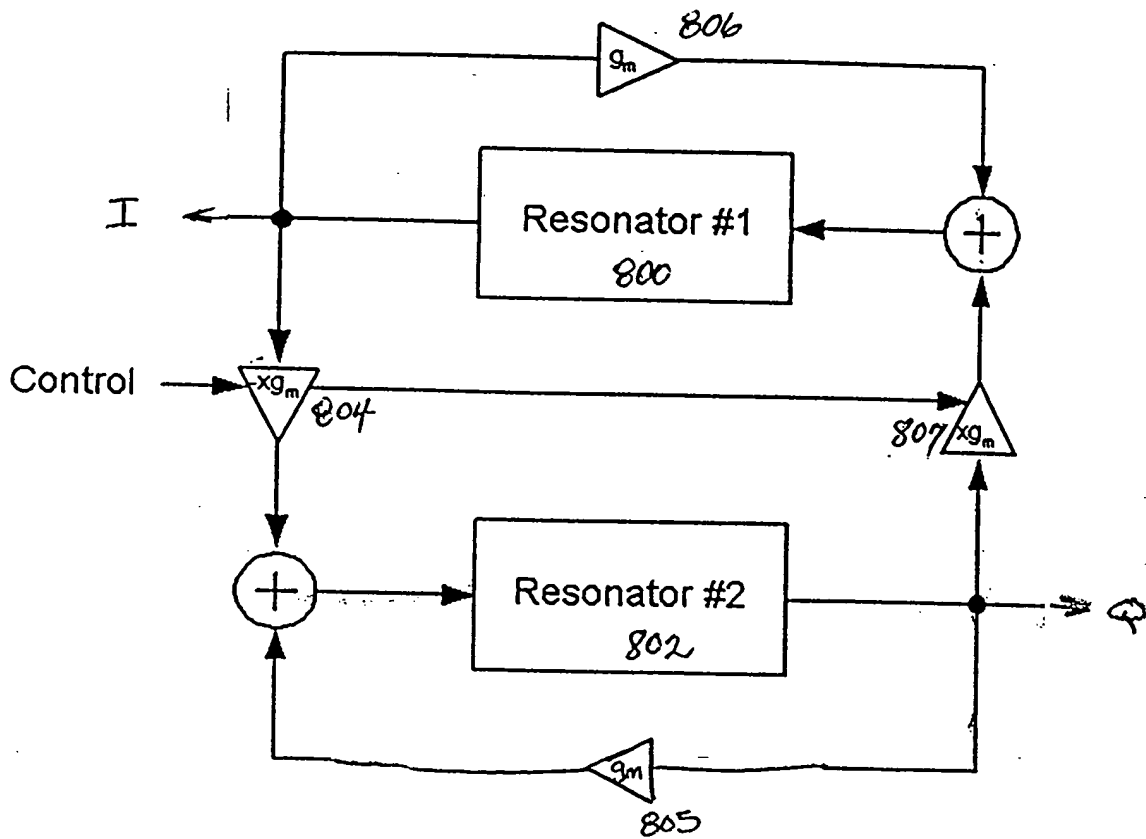
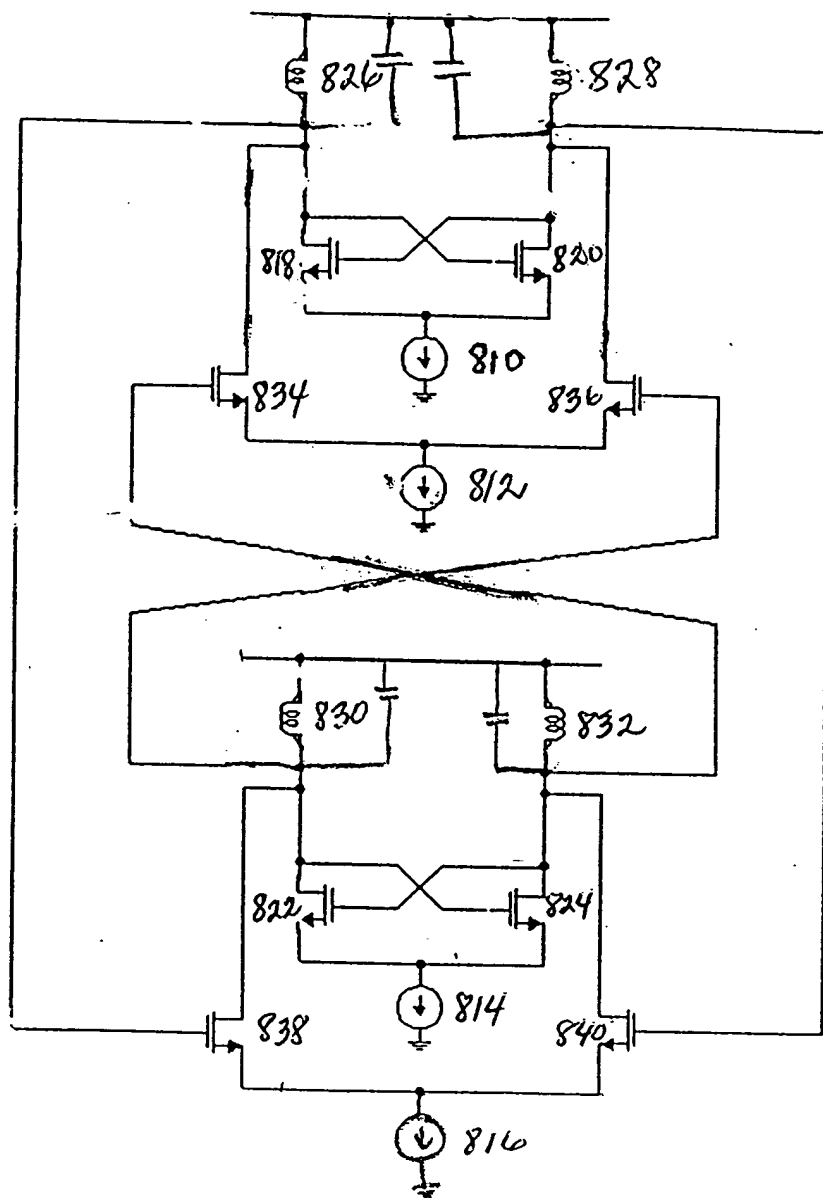


FIG. 34

002207" 26485960



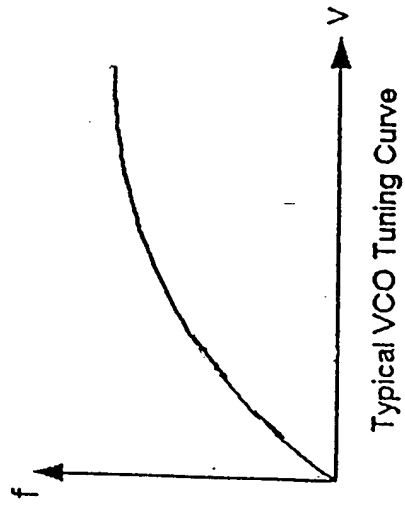


FIG. 36(a)

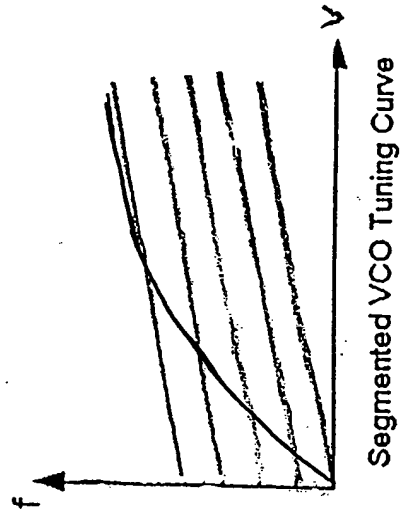


FIG. 36(b)

FIG. 37(a)

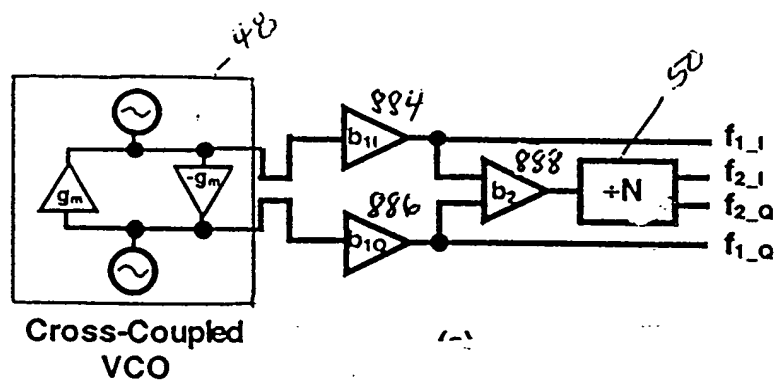
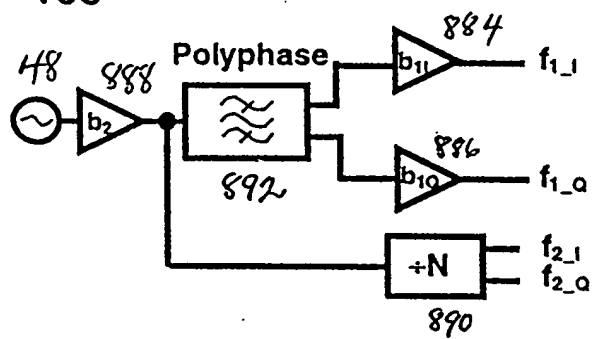


FIG. 37(b)



002201 26485500

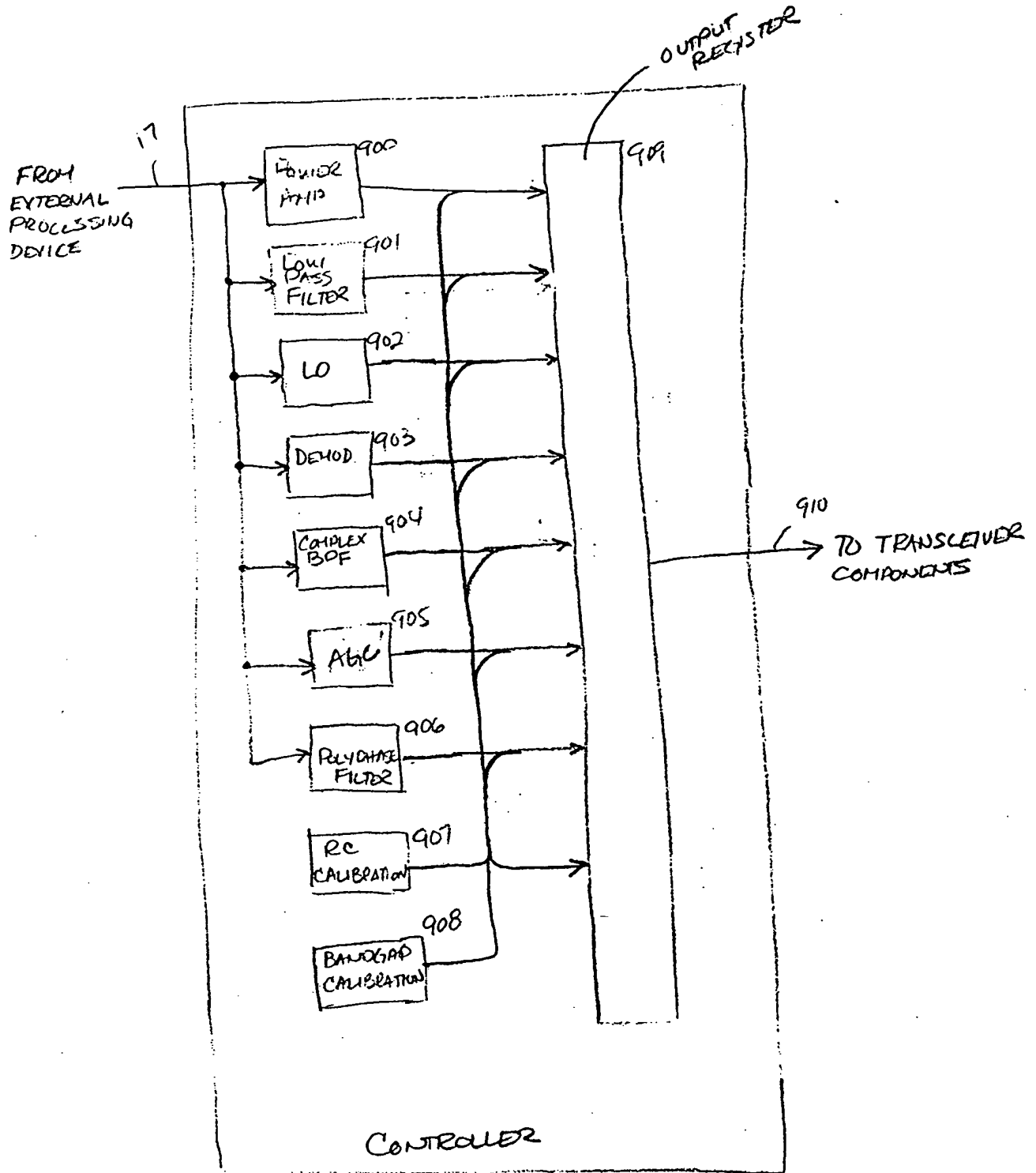


FIGURE 38

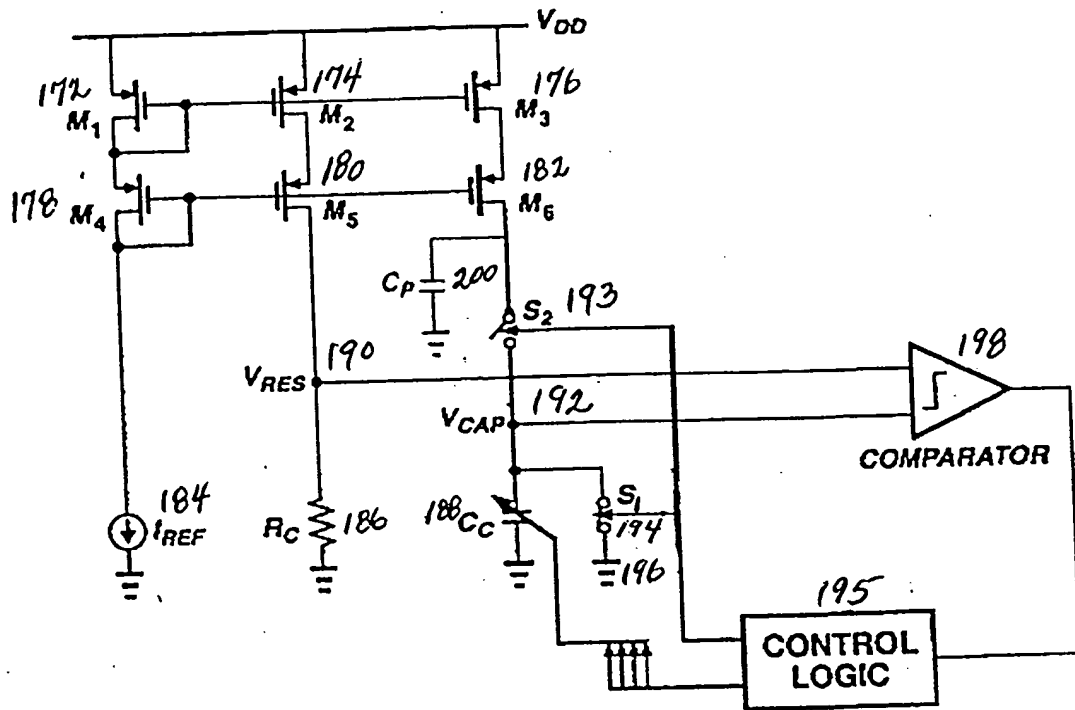


FIG. 39

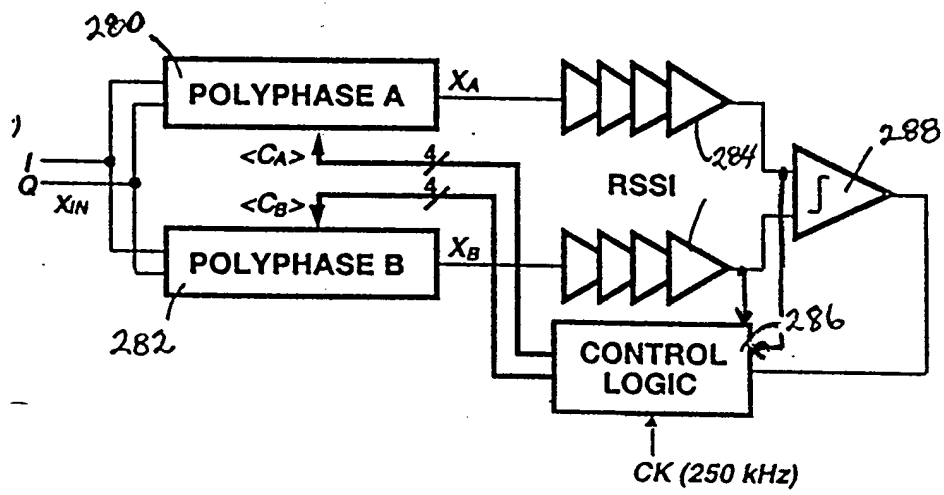


FIG. 40

002201 102700 069849 069850

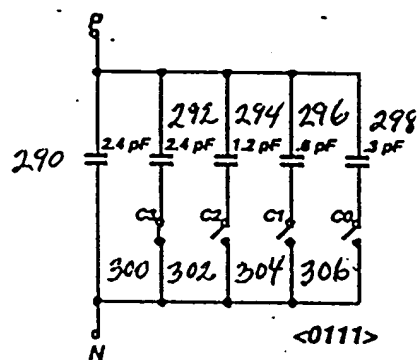


FIG. 41

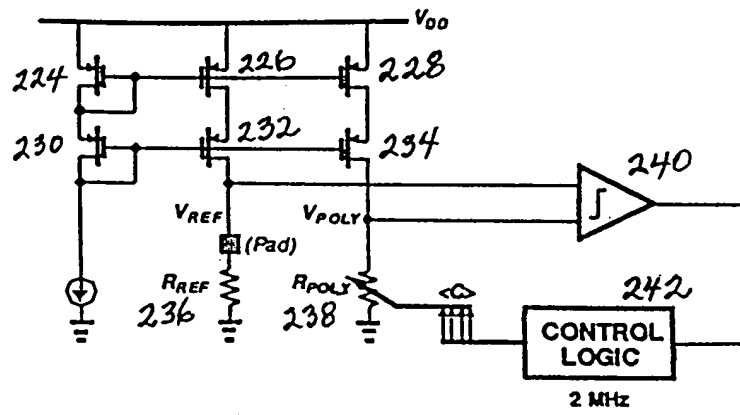


FIG. 42

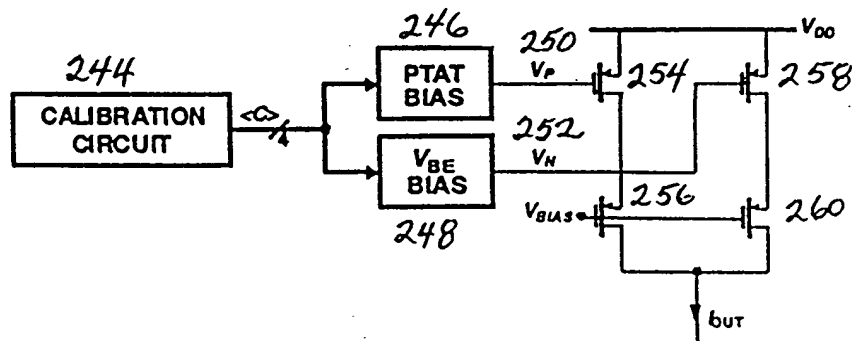


FIG. 43

002207-102700

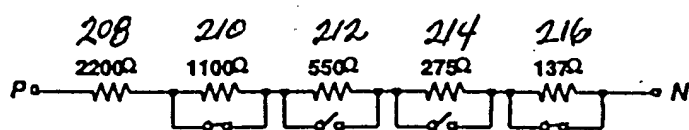


FIG. 44

09698497.102700

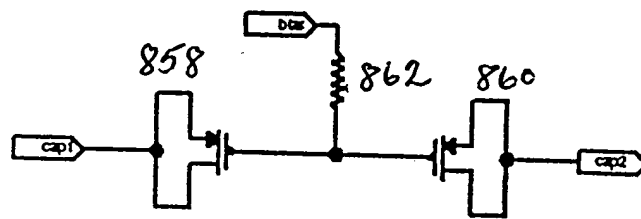
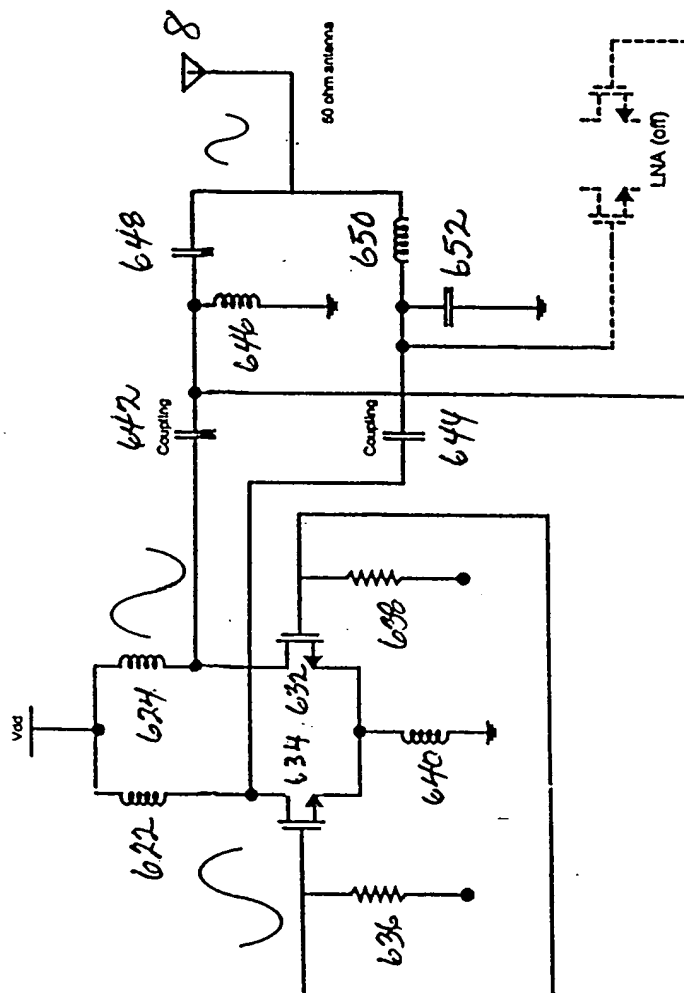


FIG. 45

SECRET



File # 49

09698497-102700

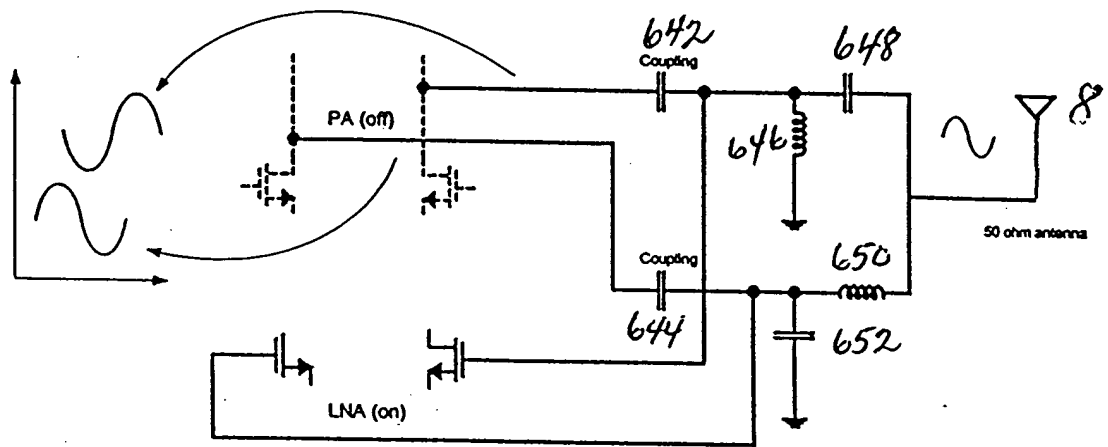


FIG. 47

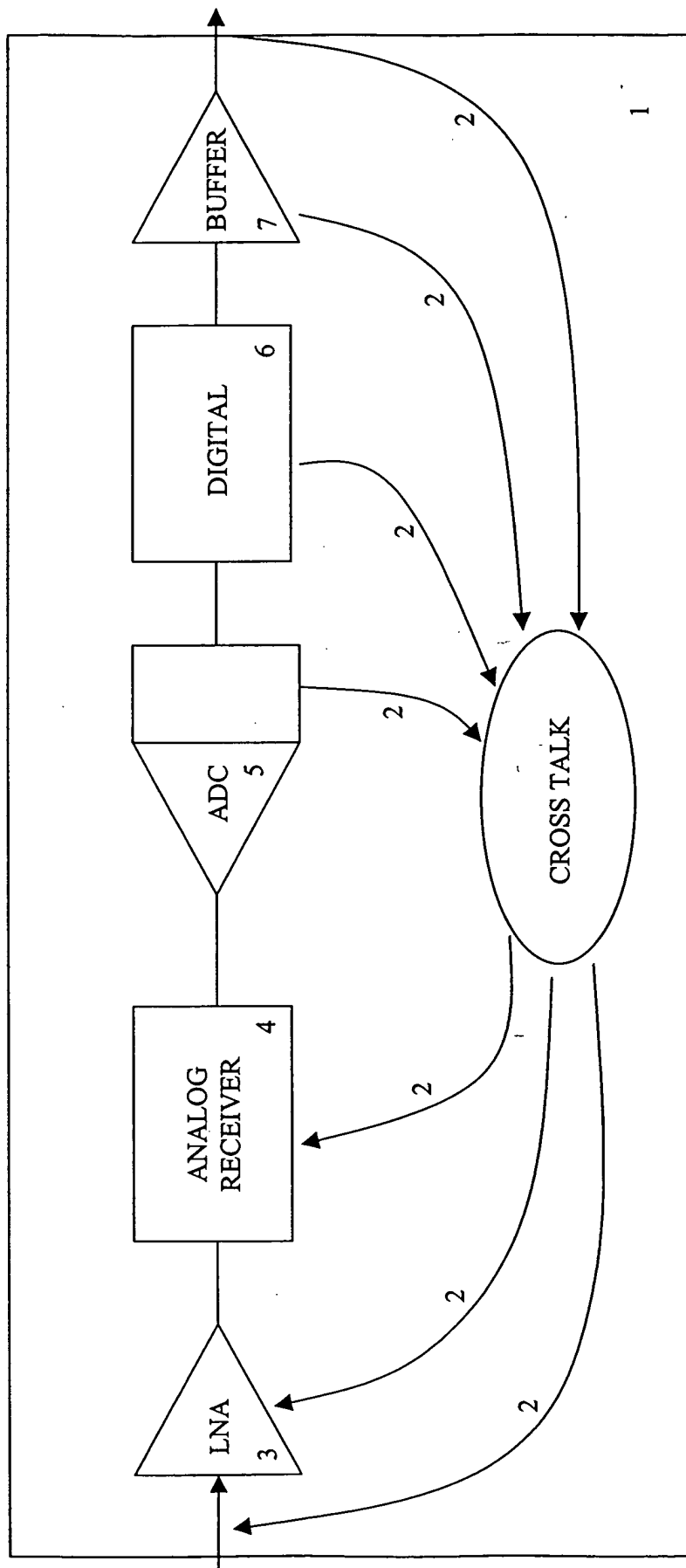


FIG. 48a

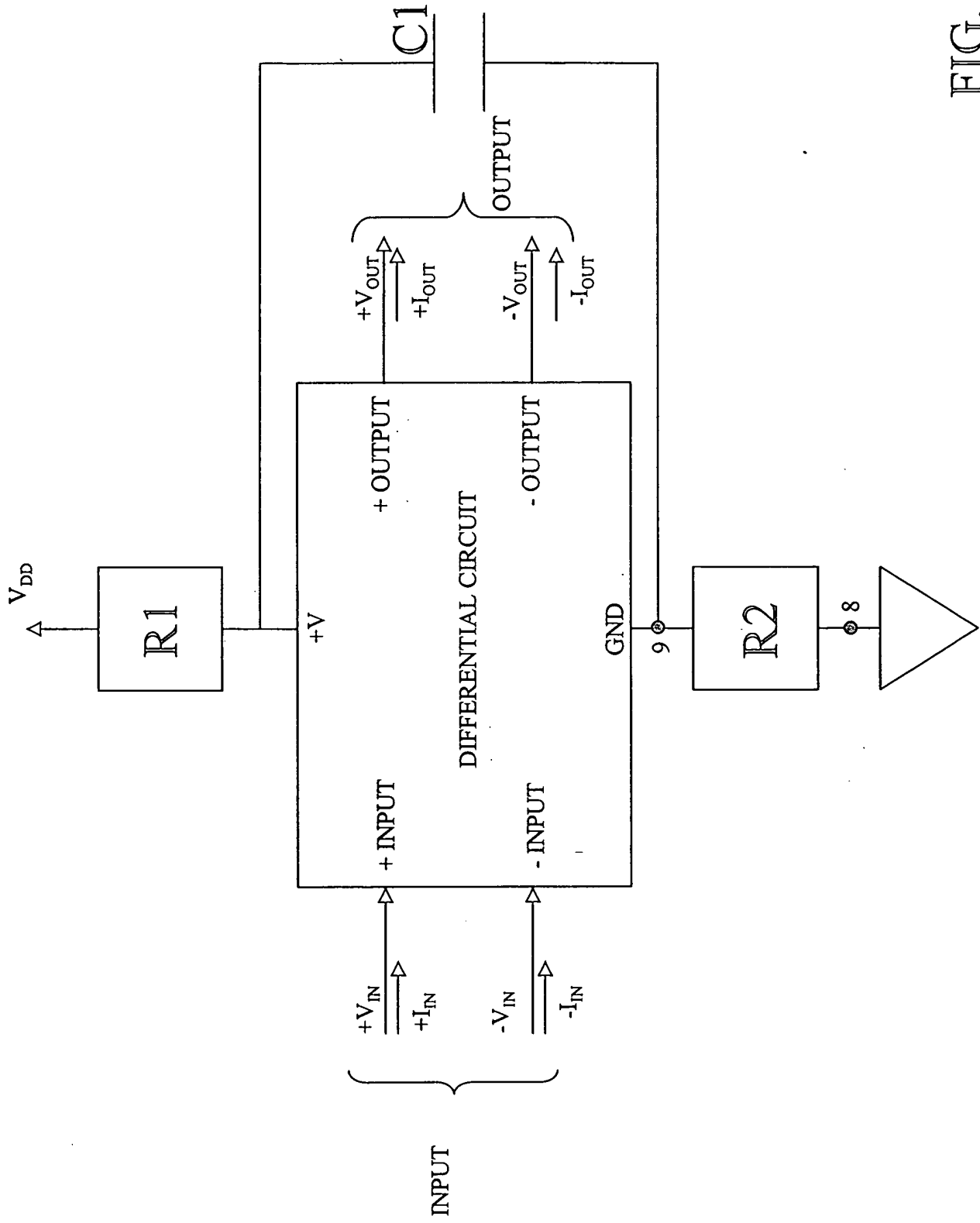


FIG. 406

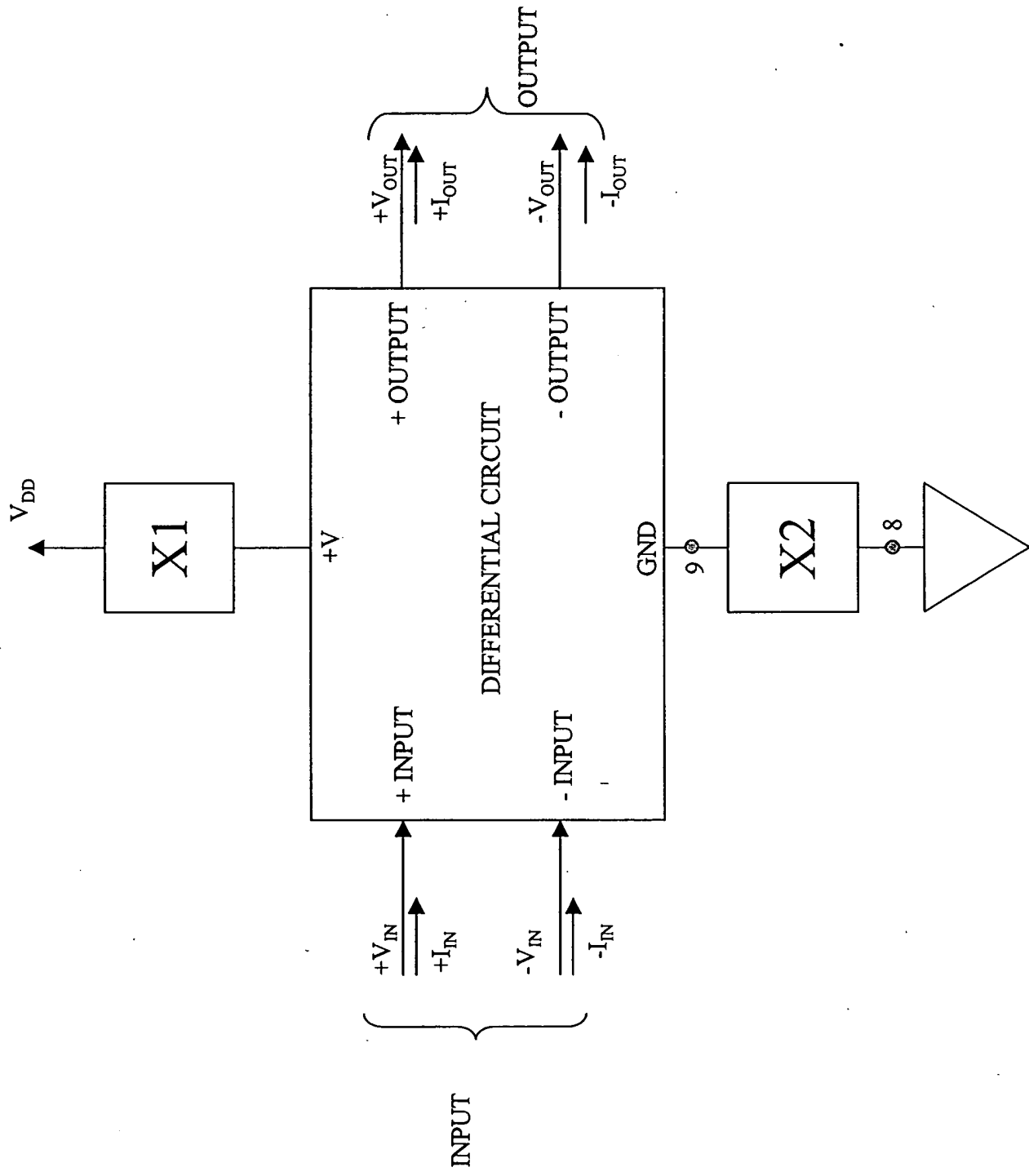


FIG. 48c

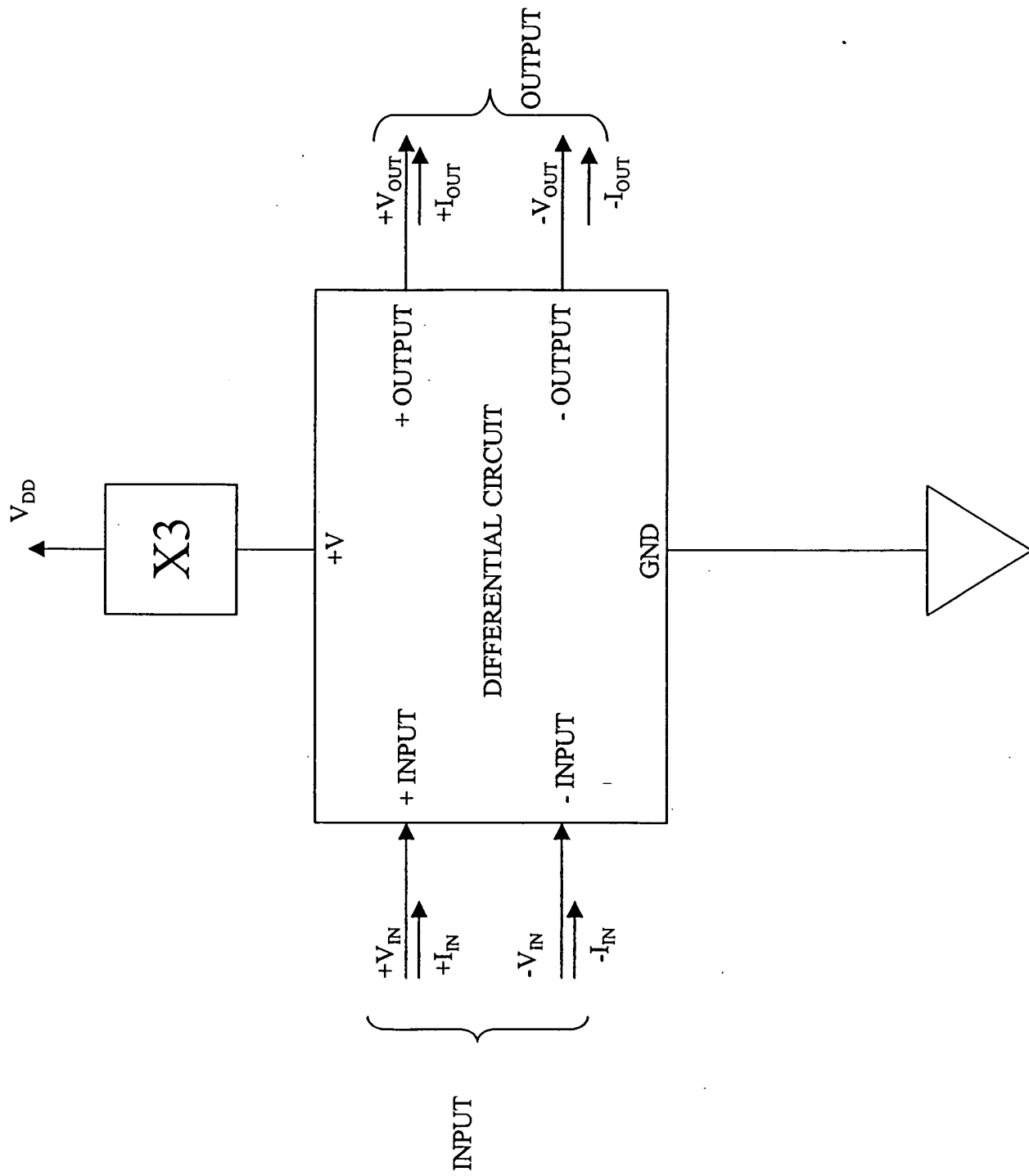


FIG. 48d

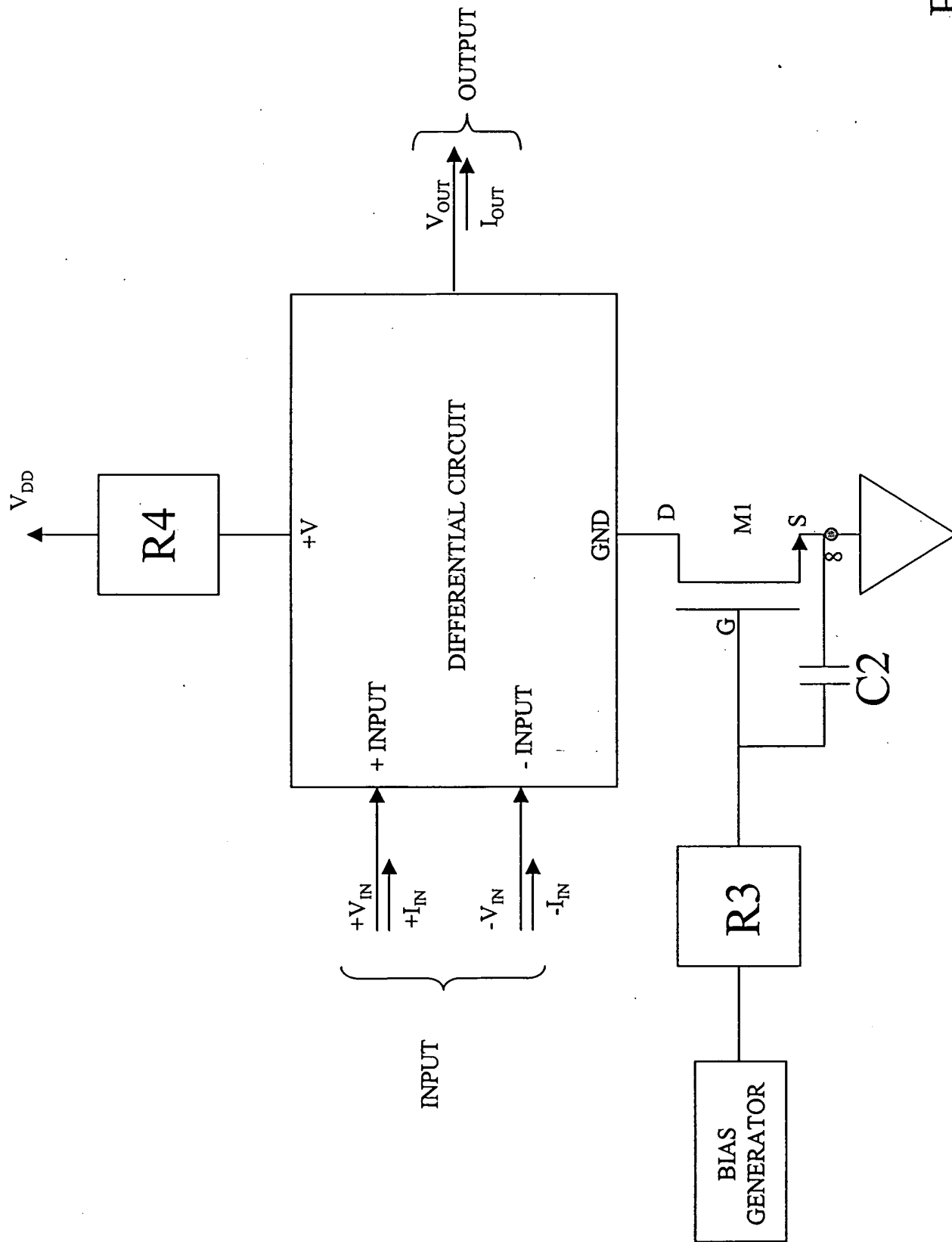


FIG. 48e

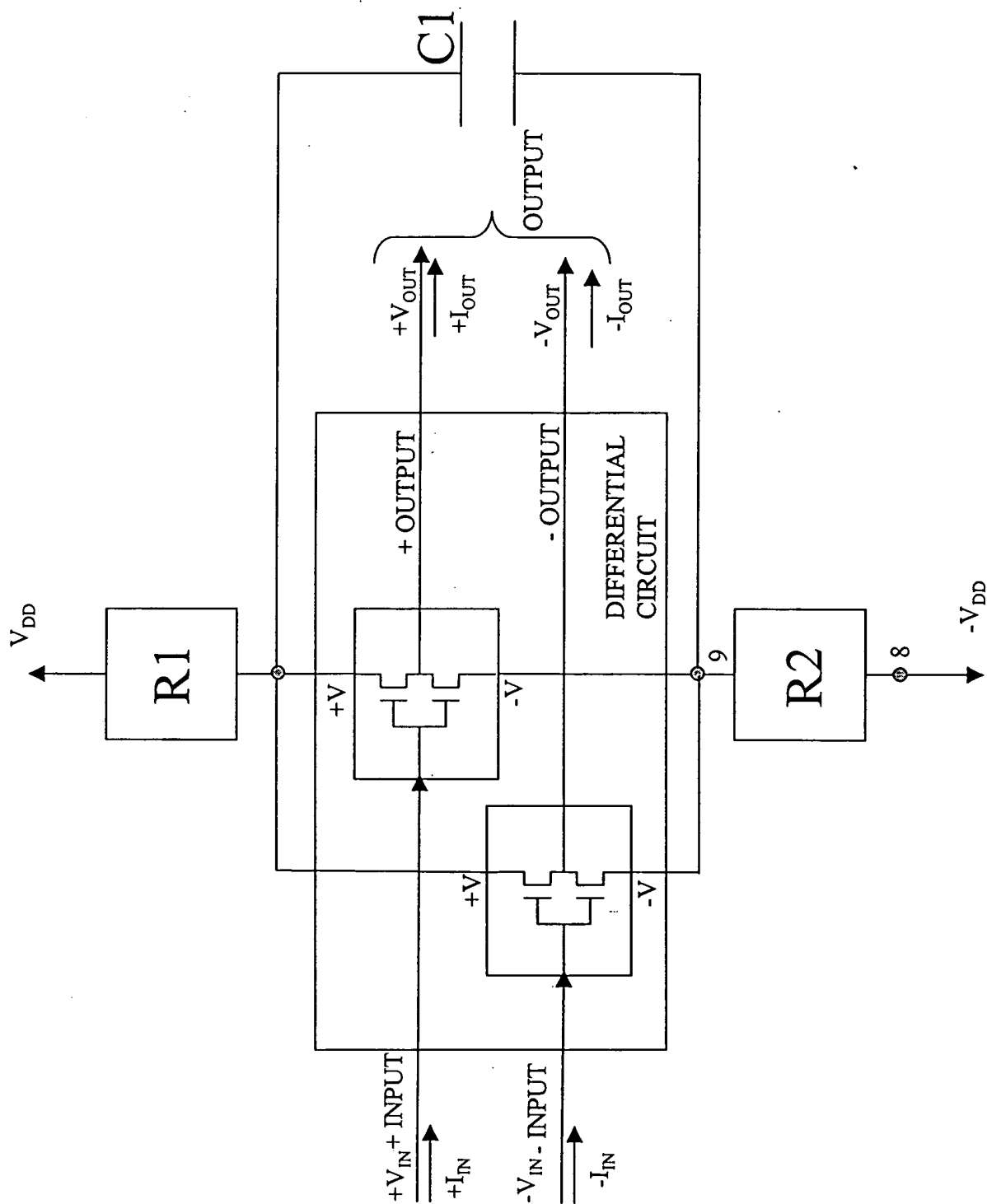


FIG. 48f